



ГОСУДАРСТВЕННЫЙ СТАНДАРТ
СОЮЗА ССР

ПОЯСА ЗЕМЛИ РАДИАЦИОННЫЕ ЕСТЕСТВЕННЫЕ

МОДЕЛЬ ПРОСТРАНСТВЕННО-ЭНЕРГЕТИЧЕСКОГО
РАСПРЕДЕЛЕНИЯ ПЛОТНОСТИ ПОТОКА ПРОТОНОВ

ГОСТ 25645.138—86

Издание официальное

15 коп.



ГОСУДАРСТВЕННЫЙ КОМИТЕТ СССР ПО УПРАВЛЕНИЮ
КАЧЕСТВОМ ПРОДУКЦИИ И СТАНДАРТАМ

Москва

ПОЯСА ЗЕМЛИ РАДИАЦИОННЫЕ
ЕСТЕСТВЕННЫЕ

ГОСТ

Модель пространственно-энергетического
распределения плотности потока протонов

25645.138—86

ОКСТУ 0080

Постановлением Государственного комитета СССР по стандартам от 31 марта 1986 г. № 844 срок введения установлен

с 01.07.87

1. Настоящий стандарт устанавливает модель пространственного и энергетического распределения плотности потока протонов с энергией $10^3 \leq E \leq 10^6$ кэВ на дрейфовых оболочках с параметром $1,2 \leq L \leq 6,6$ для индукции геомагнитного поля $5 \cdot 10^{-7} \leq B \leq 3,8 \cdot 10^{-6}$ Тл в фазах минимума и максимума 11-летнего цикла солнечной активности (далее — 11-летнего цикла) в естественных радиационных поясах Земли (ЕРПЗ).

Стандарт предназначен для использования в расчетах радиационных условий полета космических аппаратов в околоземном пространстве.

2. В модели приведены всенаправленные, усредненные по периодам спокойных геомагнитных условий, значения плотности потока протонов.

За периоды спокойных геомагнитных условий приняты периоды, для которых планетарный суточный индекс геомагнитной активности $A_p \leq 15$.

3. Фазы 11-летнего цикла определяют по ГОСТ 25645.302—83.

4. Распределение захваченной радиации в околоземном пространстве представлено в геомагнитных L , B -координатах, где L — параметр дрейфовой оболочки, B — индукция геомагнитного поля, Тл.

Метод расчета L , B -координат приведен в приложении 1.

Издание официальное

Перепечатка воспрещена

★

Переиздание. Ноябрь 1989 г.

© Издательство стандартов, 1986

5. Энергетическое распределение плотности потока протонов с энергией больше E в точке пространства с геомагнитными координатами L и B вычисляют по формуле

$$\lg I = A_1 + A_2(\lg E) + \dots + A_{n+1}(\lg E)^n, \quad (1)$$

где I — плотность потока протонов с энергией больше E , $\text{см}^{-2} \cdot \text{с}^{-1}$;

A_1, A_2, \dots, A_{n+1} — коэффициенты, определяемые для ряда значений L, B и различных диапазонов энергий E ;

n — степень аппроксимирующего полинома.

Значения коэффициентов A_1, A_2, \dots, A_{n+1} при $n=5$ приведены в табл. 1 для фазы максимума и в табл. 2 — для фазы минимума 11-летнего цикла.

Примечание. Значения плотности потока протонов I на дрейфовых оболочках с параметром $L > 3$ в фазах максимума и минимума 11-летнего цикла совпадают между собой. Для их вычисления используют коэффициенты, приведенные в табл. 2.

6. Пространственное распределение плотности потока протонов с энергией больше E в плоскости геомагнитного экватора вычисляют по формуле

$$\lg I = C_1 + C_2 L + \dots + C_{k+1} L^k, \quad (2)$$

где C_1, C_2, \dots, C_{k+1} — коэффициенты, определяемые для ряда значений энергий E ;

k — степень аппроксимирующего полинома.

Значения коэффициентов C_1, C_2, \dots, C_{k+1} при $k=4$ приведены в табл. 3 для фазы максимума и в табл. 4 — для фазы минимума 11-летнего цикла.

Примечание. Значения плотности потока протонов I на дрейфовых оболочках с параметром $L > 3$ в фазах максимума и минимума 11-летнего цикла совпадают между собой. Для их вычисления используют коэффициенты, приведенные в табл. 4.

7. Погрешность вычисления $\lg I$ по формулам (1) и (2) составляет $\pm 0,5$.

8. Для промежуточных значений энергий E , параметров L и B , для периодов между фазами максимума и минимума 11-летнего цикла значения плотности потока протонов вычисляют методом линейной интерполяции.

9. Данные для приближенных оценок энергетических и пространственных распределений плотности потока протонов приведены в приложении 2.

Таблица 1

Коэффициенты для расчета энергетического распределения
плотности потока протонов в фазе максимума 11-летнего цикла
солнечной активности

L	E, кэВ	$\frac{dN}{10^{-4} \text{Тэ}}$	A ₁	A ₂	A ₃	A ₄	A ₅	A ₆	A ₇
1,2	10 ² ÷ 4 · 10 ⁵	0,18	2,1206 + 01	-3,0022 + 01	1,9787 + 01	-6,3388 + 00	9,8762 - 01	-6,0131 - 02	
1,2	10 ² ÷ 4 · 10 ⁵	0,20	1,5527 + 01	-2,0799 + 01	1,3139 + 01	-4,0492 + 00	6,1018 - 01	-3,6093 - 02	
1,4	10 ² ÷ 4 · 10 ⁵	0,11	4,1914 + 01	-5,4729 + 01	3,1182 + 01	-8,5687 + 00	1,1433 + 00	-5,9914 - 02	
1,4	10 ² ÷ 4 · 10 ⁵	0,12	3,6341 + 01	-4,6952 + 01	2,7069 + 01	-7,5348 + 00	1,0191 + 00	-5,4199 - 02	
1,4	10 ² ÷ 4 · 10 ⁵	0,14	2,7547 + 01	-3,5415 + 01	2,1220 + 01	-6,1568 + 00	8,6293 - 01	-4,8200 - 02	
1,4	10 ² ÷ 4 · 10 ⁵	0,16	1,6114 + 01	-1,8594 + 01	1,1335 + 01	-3,3665 + 00	4,8980 - 01	-2,8293 - 02	
1,4	10 ² ÷ 4 · 10 ⁵	0,18	1,8761 + 01	-2,2893 + 01	1,3712 + 01	-4,0150 + 00	5,7909 - 01	-3,3221 - 02	
1,4	10 ² ÷ 4 · 10 ⁵	0,20	2,9541 + 01	-4,0871 + 01	2,4883 + 01	-7,3731 + 00	1,0670 + 00	-6,0634 - 02	
1,4	10 ² ÷ 4 · 10 ⁵	0,22	4,8908 + 01	-7,4634 + 01	4,6923 + 01	-1,4660 + 01	2,1388 + 00	-1,2411 - 01	
1,6	10 ² ÷ 4 · 10 ⁵	0,07	7,2932 + 01	-9,9764 + 01	5,7009 + 01	-1,5635 + 01	2,0664 + 00	-1,0642 - 01	
1,6	10 ² ÷ 4 · 10 ⁵	0,08	9,6104 + 01	-1,3404 + 02	7,6433 + 01	-2,0931 + 01	2,7627 + 00	-1,4186 - 01	
1,6	10 ² ÷ 4 · 10 ⁵	0,10	6,1203 + 01	-8,3037 + 01	4,7751 + 01	-1,3952 + 01	1,7802 + 00	-9,3547 - 02	
1,6	10 ² ÷ 4 · 10 ⁵	0,12	8,3802 + 01	-1,1825 + 02	6,8253 + 01	-1,8694 + 01	2,5592 + 00	-1,3463 - 01	
1,6	10 ² ÷ 4 · 10 ⁵	0,14	5,6229 + 01	-7,8650 + 01	4,6239 + 01	-1,3138 + 01	1,8089 + 00	-9,7554 - 02	
1,6	10 ² ÷ 4 · 10 ⁵	0,16	1,9020 + 01	-2,3778 + 01	1,4984 + 01	-4,5424 + 00	6,6453 - 01	-3,8125 - 02	
1,6	10 ² ÷ 4 · 10 ⁵	0,18	6,2733 + 01	-8,9534 + 01	5,2745 + 01	-1,5060 + 01	2,0639 + 00	-1,1417 - 01	
1,6	10 ² ÷ 4 · 10 ⁵	0,20	3,6774 + 01	-5,1983 + 01	3,1685 + 01	-9,3835 + 00	1,3550 + 00	-7,6867 - 02	
1,6	10 ² ÷ 4 · 10 ⁵	0,22	4,3894 + 01	-6,4023 + 01	3,8976 + 01	-1,1574 + 01	1,6829 + 00	-9,6256 - 02	
1,6	10 ² ÷ 2 · 10 ⁵	0,24	-1,7776 + 01	3,1542 + 01	-1,9539 + 01	5,8782 + 00	-8,5842 - 01	4,8598 - 02	
1,8	10 ² ÷ 4 · 10 ⁵	0,05	1,1708 + 02	-1,6410 + 02	9,3495 + 01	-2,5539 + 01	3,3517 + 00	-1,7064 - 01	
1,8	10 ² ÷ 4 · 10 ⁵	0,06	8,9472 + 01	-1,2421 + 02	7,1351 + 01	-1,0670 + 01	2,6070 + 00	-1,3424 - 01	
1,8	10 ² ÷ 4 · 10 ⁵	0,08	1,1073 + 02	-1,5853 + 02	9,2250 + 01	-2,5816 + 01	3,4814 + 00	-1,8250 - 01	
1,8	10 ² ÷ 4 · 10 ⁵	0,10	8,0342 + 01	-1,1147 + 02	6,4031 + 01	-1,7711 + 01	2,3643 + 00	-1,2310 - 01	

Продолжение табл. 1

L	E, эВB	$\frac{B_1}{10^{-4} \text{ Тл}}$	A ₁	A ₂	A ₃	A ₄	A ₅	A ₆
1,8	10 ² ÷ 4 · 10 ⁵	0,12	8,5535 + 01	-1,1976 + 02	6,8861 + 01	-1,9108 + 01	2,5658 + 00	-1,3462 - 01
1,8	10 ² ÷ 4 · 10 ⁵	0,14	7,9869 + 01	-1,1369 + 02	6,5455 + 01	-1,8734 + 01	2,5544 + 00	-1,3602 - 01
1,8	10 ² ÷ 4 · 10 ⁵	0,16	5,5857 + 01	-7,8810 + 01	4,6729 + 01	-1,3369 + 01	1,8511 + 00	-1,0035 - 01
1,8	10 ² ÷ 2 · 10 ⁵	0,18	6,5565 + 01	-9,4777 + 01	5,2654 + 01	-1,5585 + 01	2,1369 + 00	-1,1551 - 01
1,8	10 ² ÷ 2 · 10 ⁵	0,20	6,1370 + 01	-8,9892 + 01	5,4314 + 01	-1,5913 + 01	2,2694 + 00	-1,2707 - 01
1,8	10 ² ÷ 2 · 10 ⁵	0,22	4,3511 + 01	-6,2628 + 01	3,7575 + 01	-1,0990 + 01	1,5772 + 00	-8,9695 - 02
1,8	10 ² ÷ 10 ⁵	0,24	-3,5690 + 01	6,5946 + 01	4,4822 + 01	1,4887 + 01	-2,4091 + 00	1,5115 - 01
1,8	10 ² ÷ 5 · 10 ⁴	0,26	6,5499 + 01	-1,0350 + 02	6,4442 + 01	-1,9519 + 01	2,8763 + 00	-1,5536 - 01
2,0	10 ² ÷ 4 · 10 ⁵	0,039	1,1840 + 02	-1,6589 + 02	9,5171 + 01	-2,6235 + 01	3,4754 + 00	-1,7868 - 01
2,0	10 ² ÷ 4 · 10 ⁵	0,04	1,2339 + 02	-1,7560 + 02	1,0156 + 02	-2,8129 + 01	3,7854 + 00	-1,9213 - 01
2,0	10 ² ÷ 4 · 10 ⁵	0,06	9,6433 + 01	-1,3561 + 02	7,8729 + 01	-2,1971 + 01	2,9478 + 00	-1,5371 - 01
2,0	10 ² ÷ 2 · 10 ⁵	0,08	8,0375 + 01	-1,1444 + 02	6,7653 + 01	-1,9180 + 01	2,6104 + 00	-1,3799 - 01
2,0	10 ² ÷ 2 · 10 ⁵	0,10	7,0278 + 01	-9,7944 + 01	5,7324 + 01	-1,6141 + 01	2,1864 + 00	-1,1541 - 01
2,0	10 ² ÷ 2 · 10 ⁵	0,12	7,3123 + 01	-1,0352 + 02	6,0937 + 01	-1,7235 + 01	2,3440 + 00	-1,2408 - 01
2,0	10 ² ÷ 2 · 10 ⁵	0,14	1,3698 + 02	-1,9646 + 02	1,1386 + 02	-3,1869 + 01	4,3159 + 00	-2,2789 - 01
2,0	10 ² ÷ 2 · 10 ⁵	0,16	8,2055 + 01	-1,1895 + 02	7,0664 + 01	-2,0182 + 01	2,7751 + 00	-1,4845 - 01
2,0	10 ² ÷ 2 · 10 ⁵	0,18	8,0114 + 01	-1,1391 + 02	6,5136 + 01	-1,8432 + 01	2,4703 + 00	-1,2879 - 01
2,0	10 ² ÷ 2 · 10 ⁵	0,20	5,9910 + 01	-8,6988 + 01	5,2703 + 01	-1,5394 + 01	2,1688 + 00	-1,1921 - 01
2,0	10 ² ÷ 2 · 10 ⁵	0,22	6,3650 + 01	-9,2887 + 01	5,5837 + 01	-1,6197 + 01	2,2712 + 00	-1,2447 - 01
2,0	10 ² ÷ 10 ⁵	0,24	3,6422 + 01	-5,3282 + 01	3,2876 + 01	-9,8121 + 00	1,4202 + 00	-8,0766 - 02
2,0	10 ² ÷ 5 · 10 ⁴	0,26	3,0586 + 01	-4,8042 + 01	3,0221 + 01	-9,2011 + 00	1,3586 + 00	-7,8498 - 02
2,2	10 ² ÷ 2 · 10 ⁵	0,029	7,6360 + 01	-1,0064 + 02	5,6269 + 01	-1,4932 + 01	1,8664 + 00	-8,9031 - 02
2,2	10 ² ÷ 2 · 10 ⁵	0,04	6,2187 + 01	-8,5489 + 01	5,0577 + 01	-1,4200 + 01	1,8857 + 00	-9,6356 - 02
2,2	10 ² ÷ 2 · 10 ⁵	0,06	5,7528 + 01	-7,8474 + 01	4,6144 + 01	-1,3036 + 01	1,7531 + 00	-9,1246 - 02
2,2	10 ² ÷ 2 · 10 ⁵	0,08	7,8876 + 01	-1,1028 + 02	6,4451 + 01	-1,8077 + 01	2,4275 + 00	-1,2643 - 01
2,2	10 ² ÷ 2 · 10 ⁵	0,10	3,5757 + 01	-4,6795 + 01	2,8231 + 01	-8,1007 + 00	1,0976 + 00	-5,7582 - 02
2,2	10 ² ÷ 2 · 10 ⁵	0,12	4,2061 + 01	-5,5597 + 01	3,2789 + 01	-9,2347 + 00	1,2344 + 00	-6,3991 - 02
2,2	10 ² ÷ 10 ⁵	0,14	4,3248 + 01	-5,7085 + 01	3,3362 + 01	-9,3219 + 00	1,2363 + 00	-6,3479 - 02
2,2	10 ² ÷ 10 ⁵	0,16	-1,5280 + 01	3,4696 + 01	-2,2627 + 01	7,2510 + 00	-1,1489 + 00	7,0384 - 02

Продолжение табл. 1

L	E, кэВ	$\frac{R}{10^{-1}} \text{Тл}$	A ₁	A ₂	A ₃	A ₄	A ₅	A ₆
2,2	10 ² ÷ 10 ³	0,18	4,7478+01	-6,4085+01	3,7660+01	-1,0587+01	1,4282+00	-7,5106-02
2,2	10 ² ÷ 10 ³	0,20	4,3484+01	-5,9905+01	3,5993+01	-1,0399+01	1,4402+00	-7,7994-02
2,2	10 ² ÷ 10 ³	0,22	3,9399+01	-5,2063+01	3,0046+01	-8,3096+00	1,0963+00	-5,6346-02
2,2	10 ² ÷ 10 ³	0,24	-3,9615+01	7,2615+01	-4,8219+01	1,5641+01	-2,4908+00	1,5431-01
2,2	10 ² ÷ 2 · 10 ³	0,26	-5,0471+00	8,1590+00	-3,2852+00	5,6228-01	-3,9501-02	—
2,4	10 ² ÷ 10 ³	0,022	-6,5610+00	2,2853+01	-1,4377+01	4,6544+00	-7,8845-01	5,1996-02
2,4	10 ² ÷ 10 ³	0,04	9,8184+01	-1,4321+02	8,7194+01	-2,5556+01	3,5925+00	-1,9583-01
2,4	10 ² ÷ 10 ³	0,06	1,8582+01	-1,9866+01	1,3093+01	-4,0512+00	5,7522-01	-3,1467-02
2,4	10 ² ÷ 10 ³	0,08	4,7637+01	-6,5065+01	3,9893+01	-1,1733+01	1,6394+00	-8,8668-02
2,4	10 ² ÷ 10 ³	0,10	5,7130+01	-7,9022+01	4,7398+01	-1,3643+01	1,8724+00	-9,9675-02
2,4	10 ² ÷ 10 ³	0,12	3,1822+01	-4,0145+01	2,4462+01	-7,1358+00	9,7924-01	-5,2071-02
2,4	10 ² ÷ 10 ³	0,14	5,2088+01	-7,1752+01	4,3164+01	-1,2471+01	1,7166+00	-9,1646-02
2,4	10 ² ÷ 10 ³	0,16	-1,0646+02	1,8030+02	-1,1325+02	3,4963+01	-5,3303+00	3,1952-01
2,4	10 ² ÷ 10 ³	0,18	4,0010+01	-6,2619+01	3,7441+01	-1,0718+01	1,4524+00	-7,5766-02
2,4	10 ² ÷ 10 ³	0,20	9,0802+01	-1,3494+02	8,2657+01	-2,4443+01	3,4967+00	-1,9533-01
2,4	10 ² ÷ 10 ³	0,22	4,8893+01	-7,0802+01	4,4281+01	-1,3365+01	1,9391+00	-1,1009-01
2,4	10 ² ÷ 10 ³	0,24	2,9853+01	-4,3299+01	2,8664+01	-9,1265+00	1,3896+00	-8,2876-02
2,4	10 ² ÷ 2 · 10 ³	0,26	3,4515+01	-4,4985+01	2,3399+01	-5,2239+00	4,1562-01	—
2,4	10 ² ÷ 4 · 10 ³	0,28	4,0947+00	-1,1270+00	-3,1327-01	1,1118-01	—	—
2,6	10 ² ÷ 5 · 10 ³	0,018	3,6949+01	-4,2368+01	2,3454+01	-5,8717+00	6,1881-01	-2,0475-02
2,6	10 ² ÷ 5 · 10 ³	0,02	-1,7488+01	4,0272+01	-2,5154+01	7,9242+00	-1,2761+00	8,0723-02
2,6	10 ² ÷ 5 · 10 ³	0,04	1,3474+02	-2,0713+02	1,3065+02	-3,9884+01	5,8824+00	-3,3829-01
2,6	10 ² ÷ 5 · 10 ³	0,06	5,8965+00	-2,3223+00	3,9352+00	-1,7515+00	2,8436-01	-1,6559-02
2,6	10 ² ÷ 5 · 10 ³	0,08	5,8695+01	-8,7363+01	5,6650+01	-1,7572+01	2,5884+00	-1,4714-01
2,6	10 ² ÷ 5 · 10 ³	0,10	1,2679+02	-2,0172+02	1,3170+02	-4,1674+01	6,3723+00	-3,7945-01
2,6	10 ² ÷ 5 · 10 ³	0,12	1,1835+02	-1,7959+02	1,1215+02	-3,2976+01	4,9766+00	-2,8432-01
2,6	10 ² ÷ 5 · 10 ³	0,14	3,7892+01	-5,3268+01	3,4915+01	-1,0988+01	1,6388+00	-9,4790-02
2,6	10 ² ÷ 5 · 10 ³	0,16	-7,9146+01	1,3279+02	-8,0674+01	2,4087+01	-3,5684+00	2,0824-01
2,6	10 ² ÷ 2 · 10 ³	0,18	5,7316+00	-1,1814+00	1,5426+00	-5,5881-01	4,8444-02	—

Продолжение табл. 1

L	E, эВB	$\frac{B_0}{10^{-11} \text{Тл}}$	A ₁	A ₂	A ₃	A ₄	A ₅	A ₆
2,6	10 ² ÷ 2 · 10 ⁴	0,20	7,5692 + 00	-4,5088 + 00	3,4032 + 00	-9,8567 - 01	8,2662 - 02	-
2,6	10 ² ÷ 2 · 10 ⁴	0,22	7,8637 + 00	-5,5626 + 00	4,1449 + 00	-1,2228 + 00	1,0971 - 01	-
2,6	10 ² ÷ 2 · 10 ⁴	0,24	-7,4753 + 00	1,6150 + 01	-7,4162 + 00	1,4362 + 00	-1,1278 - 01	-
2,6	10 ² ÷ 2 · 10 ⁴	0,26	1,8341 + 01	-2,2634 + 01	1,2966 + 01	-3,1766 + 00	2,6732 - 01	-
2,6	10 ² ÷ 4 · 10 ⁴	0,28	-3,5037 + 01	4,3529 + 01	-1,6196 + 01	1,9036 + 00	-	-
2,6	10 ² ÷ 8 · 10 ⁴	0,30	6,9531 - 01	2,9488 - 01	-6,3342 - 02	-4,1592 - 02	-	-
2,8	10 ² ÷ 5 · 10 ⁴	0,014	1,6685 + 02	-2,5213 + 02	1,5565 + 02	-4,6499 + 01	6,7111 + 00	-3,7790 - 01
2,8	10 ² ÷ 5 · 10 ⁴	0,02	1,1296 + 01	-9,0441 + 00	7,4415 + 00	-2,4130 + 00	2,9221 - 01	-1,0880 - 02
2,8	10 ² ÷ 2 · 10 ⁴	0,04	4,3111 + 00	2,6790 + 00	-2,5638 - 01	-1,7233 - 01	1,2653 - 02	-
2,8	10 ² ÷ 2 · 10 ⁴	0,06	8,2628 + 00	-5,4807 + 00	4,9531 + 00	-1,5448 + 00	1,4046 - 01	-
2,8	10 ² ÷ 2 · 10 ⁴	0,08	3,4195 + 00	1,0952 + 00	1,7116 + 00	-8,7717 - 01	9,1473 - 02	-
2,8	10 ² ÷ 2 · 10 ⁴	0,10	1,4335 + 01	-1,3250 + 01	8,3369 + 00	-2,1774 + 00	1,8318 - 01	-
2,8	10 ² ÷ 2 · 10 ⁴	0,12	-2,2132 + 01	3,4106 + 01	-1,3853 + 01	2,2750 + 00	-1,4123 - 01	-
2,8	10 ² ÷ 2 · 10 ⁴	0,14	2,7696 + 01	-3,2093 + 01	1,7985 + 01	-4,3513 + 00	3,6470 - 01	-
2,8	10 ² ÷ 2 · 10 ⁴	0,16	-8,3393 + 00	1,7665 + 01	-7,1316 + 00	1,1195 + 00	-6,9944 - 02	-
2,8	10 ² ÷ 2 · 10 ⁴	0,18	5,5065 + 00	-2,0867 + 00	2,8480 + 00	-1,0393 + 00	9,9808 - 02	-
2,8	10 ² ÷ 2 · 10 ⁴	0,20	1,4049 + 01	-1,3589 + 01	8,5008 + 00	-2,2559 + 00	1,9660 - 01	-
2,8	10 ² ÷ 2 · 10 ⁴	0,22	3,8058 - 01	4,4348 + 00	-3,0518 - 01	-3,9781 - 01	5,3572 - 02	-
2,8	10 ² ÷ 2 · 10 ⁴	0,24	-4,1909 + 01	6,3099 + 01	-3,0275 + 01	6,2277 + 00	-4,8194 - 01	-
2,8	10 ² ÷ 10 ⁴	0,26	7,6179 + 01	-9,9726 + 01	5,1191 + 01	-1,452 + 01	9,2680 - 01	-
2,8	10 ² ÷ 10 ⁴	0,28	-6,9188 + 01	1,0480 + 02	-5,4639 + 01	1,2295 + 01	-1,0280 + 00	-
2,8	10 ² ÷ 10 ²	0,30	-1,1932 + 01	1,6963 + 01	-6,5260 + 00	7,6383 - 01	-	-
3,0	10 ² ÷ 2 · 10 ⁴	0,011	7,0307 + 01	-8,7722 + 01	4,5466 + 01	-1,0147 + 01	8,0266 - 01	-
3,0	10 ² ÷ 2 · 10 ⁴	0,02	2,9389 + 01	-3,2814 + 01	1,8469 + 01	-4,4247 + 00	3,5986 - 01	-
3,0	10 ² ÷ 2 · 10 ⁴	0,04	4,2510 + 01	-5,1610 + 01	2,7987 + 01	-6,5370 + 00	5,3341 - 01	-
3,0	10 ² ÷ 2 · 10 ⁴	0,06	1,6718 + 01	-1,7101 + 01	1,1137 + 01	-2,9937 + 00	2,6151 - 01	-
3,0	10 ² ÷ 2 · 10 ⁴	0,08	1,8802 + 01	-2,0782 + 01	1,3187 + 01	-3,4801 + 00	3,0347 - 01	-
3,0	10 ² ÷ 2 · 10 ⁴	0,10	-5,5817 + 00	1,3743 + 01	-4,6563 + 00	5,0126 - 01	-2,1206 - 02	-
3,0	10 ² ÷ 2 · 10 ⁴	0,12	-6,0171 + 00	1,3067 + 01	-3,7220 + 00	1,5574 - 01	1,8442 - 02	-

Продолжение табл. 1

L	$E, \text{ ээВ}$	$E, 10^{-11} \text{ ТэВ}$	A_1	A_2	A_3	A_4	A_5	A_6	A_7
3,0	$10^2 \div 10^4$	0,14	6,1650+01	-7,9083+01	4,2058+01	-9,7403+00	8,0652-01	—	—
3,0	$10^2 \div 10^4$	0,16	-1,8290+01	3,3991+01	-1,6651+01	3,5169+00	-2,9458-01	—	—
3,0	$10^2 \div 10^4$	0,18	-1,0080+01	2,1648+01	-9,8085+00	1,8518+00	-1,4490-01	—	—
3,0	$10^2 \div 10^4$	0,20	-3,887+00	1,116+01	-3,577+00	2,720-01	—	—	—
3,0	$10^2 \div 10^4$	0,22	-3,511+00	1,030+01	-3,234+00	2,302-01	—	—	—
3,0	$10^2 \div 10^4$	0,24	-3,477+00	1,053+01	-3,484+00	2,770-01	—	—	—
3,0	$10^2 \div 10^4$	0,26	-1,924+00	8,390+00	-2,668+00	1,777-01	—	—	—
3,0	$10^2 \div 10^4$	0,28	5,331-01	5,720+00	-1,870+00	1,023-01	—	—	—
3,0	$10^2 \div 4 \cdot 10^3$	0,30	2,888+00	2,686+00	-8,630-01	—	—	—	—
3,0	$10^2 \div 4 \cdot 10^3$	0,32	2,349+00	2,028+00	-6,986-01	—	—	—	—
3,0	$10^2 \div 4 \cdot 10^3$	0,34	3,322+00	-1,161+00	—	—	—	—	—

Таблица 2

Коэффициенты для расчета энергетического распределения плотности потока протонов в фазе минимума 11-летнего цикла солнечной активности

L	E , кэВ	$\frac{E}{10^{-1} \text{Тл}}$	A_1	A_2	A_3	A_4	A_5	A_6
1,2	$10^2 \div 10^3$	0,18	-6,8118—01	5,6578+00	-2,7116+00	5,6237—01	-4,2966—02	—
1,2	$10^2 \div 10^2$	0,20	2,0640+00	1,6626+00	-1,0262+00	2,6343—01	-2,3928—02	—
1,2	$10^2 \div 10^4$	0,22	-1,4014+01	1,2978+01	-5,4256+00	9,8565—01	-6,5820—02	—
1,4	$10^2 \div 10^2$	0,11	-1,7891+00	8,6972+00	-3,8226+00	7,2772—01	-5,2919—02	—
1,4	$10^2 \div 10^4$	0,12	3,4160+00	2,1412+00	-1,1021+00	2,6187—01	-2,4502—02	—
1,4	$10^2 \div 10^2$	0,14	1,3484—01	5,8297+00	-2,7014+00	5,4794—01	-4,2315—02	—
1,4	$10^2 \div 10^4$	0,16	2,2042+00	3,0136+00	-1,6013+00	3,7461—01	-3,2673—02	—
1,4	$10^2 \div 10^2$	0,18	4,4589+00	9,3309—02	-4,3419—01	1,8069—01	-2,1219—02	—
1,4	$10^2 \div 10^2$	0,20	4,5024+00	-4,7874—01	-9,6370—02	9,7679—02	-1,4193—02	—
1,4	$10^2 \div 10^2$	0,22	7,1295+00	-4,4030+00	1,5426+00	-1,9204—01	4,5154—03	—
1,4	$10^2 \div 10^2$	0,24	5,6900+00	-6,1330+00	2,7359+00	-3,0515—01	3,2841—02	—
1,6	$10^2 \div 10^2$	0,07	6,0902+01	-7,7545+01	4,2045+01	-1,0929+01	1,3619+00	-6,6134—02
1,6	$10^2 \div 10^2$	0,08	5,2024+01	-6,8996+01	3,8925+01	-1,0459+01	1,3465+00	-6,7218—02
1,6	$10^2 \div 10^2$	0,10	2,0024+01	-2,0557+01	1,1137+01	-2,8542+00	3,4930—01	-1,6767—02
1,6	$10^2 \div 10^2$	0,12	2,4522+01	-2,8510+01	1,5942+01	-4,2243+00	5,3631—01	-2,6802—02
1,6	$10^2 \div 10^2$	0,14	6,4652+00	-2,8787+00	1,7720+00	-4,8767—01	6,1678—02	-3,4228—02
1,6	$10^2 \div 10^2$	0,16	-1,4346+01	2,6908+01	-1,4759+01	3,9094+00	-5,0174—01	2,4568—02
1,6	$10^2 \div 10^2$	0,18	-5,7934+00	1,5332+01	-9,3053+00	2,7295+00	-3,8356—01	2,0221—02
1,6	$10^2 \div 10^2$	0,20	-3,1637+01	5,1982+01	-2,9517+01	8,0542+00	-1,0581+00	5,3292—02
1,6	$10^2 \div 10^2$	0,22	-3,6652+01	6,2143+01	-3,6873+01	1,0496+01	-1,3999+00	7,1807—02
1,6	$10^2 \div 10^2$	0,24	-3,8794+01	6,0926+01	-3,4506+01	9,3916+00	-1,2300+00	6,1856—02
1,8	$10^2 \div 4 \cdot 10^2$	0,05	1,0900+02	-1,5283+02	8,7649+01	-2,4118+01	3,1901+00	-1,6378—01
1,8	$10^2 \div 4 \cdot 10^2$	0,06	7,7294+01	-1,0576+02	6,0659+01	-1,6620+01	2,1893+00	-1,1203—01
1,8	$10^2 \div 4 \cdot 10^2$	0,08	1,1073+02	-1,5853+02	9,2250+01	-2,5816+01	3,4814+00	-1,8250—01

Продолжение табл. 2

L	E, эВ	$\frac{E}{10^{-11} \text{Тэ}}$	A ₁	A ₂	A ₃	A ₄	A ₅	A ₆
1,8	10 ² ÷ 4 · 10 ³	0,10	8,0342 + 01	-1,1147 + 02	6,4031 + 01	-1,7711 + 01	2,3643 + 00	-1,2310 - 01
1,8	10 ² ÷ 4 · 10 ³	0,12	5,8946 + 01	-3,0205 + 01	4,6243 + 01	-1,2890 + 01	1,7370 + 00	-9,1825 - 02
1,8	10 ² ÷ 4 · 10 ³	0,14	-7,9869 + 01	-1,1309 + 02	6,6455 + 01	-1,8734 + 01	2,5544 + 00	-1,3602 - 01
1,8	10 ² ÷ 2 · 10 ³	0,16	6,5530 + 01	-9,4134 + 01	5,6167 + 01	-1,6198 + 01	2,2645 + 00	-1,2388 - 01
1,8	10 ² ÷ 2 · 10 ³	0,18	3,5920 + 01	-5,0424 + 01	3,1291 + 01	-9,4533 + 00	1,3930 + 00	-8,0909 - 02
1,8	10 ² ÷ 2 · 10 ³	0,20	5,1680 + 01	-7,5038 + 01	4,5495 + 01	-4,3394 + 01	1,9217 + 00	-1,0845 - 01
1,8	10 ² ÷ 2 · 10 ³	0,22	7,7781 + 01	-1,1368 + 02	6,7579 + 01	-1,9601 + 01	2,7841 + 00	-1,5500 - 01
1,8	10 ² ÷ 10 ⁴	0,24	-1,4475 + 01	2,5925 + 01	-1,4973 + 01	4,1462 + 00	-5,4575 - 01	2,6608 - 02
1,8	10 ² ÷ 10 ⁴	0,26	7,4718 + 00	-8,0437 + 00	4,7845 + 00	-1,5642 + 00	2,7634 - 01	-2,0400 - 02
2,0	10 ² ÷ 4 · 10 ³	0,039	1,1640 + 02	-1,6589 + 02	9,5171 + 01	-2,6235 + 01	3,4754 + 00	-1,7868 - 01
2,0	10 ² ÷ 4 · 10 ³	0,04	8,1954 + 01	-1,0926 + 02	6,1099 + 01	-1,6292 + 01	2,0647 + 00	-1,0068 - 01
2,0	10 ² ÷ 4 · 10 ³	0,06	9,6433 + 01	-1,3561 + 02	7,8729 + 01	-2,1971 + 01	2,9478 + 00	-1,5371 - 01
2,0	10 ² ÷ 2 · 10 ³	0,08	4,1155 + 01	-5,3665 + 01	3,1205 + 01	-8,5688 + 00	1,1063 + 00	-5,5149 - 02
2,0	10 ² ÷ 2 · 10 ³	0,10	7,0278 + 01	-9,7944 + 01	5,7324 + 01	-1,6141 + 01	2,1864 + 00	-1,1541 - 01
2,0	10 ² ÷ 2 · 10 ³	0,12	7,3123 + 01	-1,0352 + 02	6,0937 + 01	-1,7035 + 01	2,3440 + 00	-1,2408 - 01
2,0	10 ² ÷ 2 · 10 ³	0,14	1,3598 + 02	-1,9646 + 02	1,1386 + 02	-3,1969 + 01	4,3159 + 00	-2,2789 - 01
2,0	10 ² ÷ 2 · 10 ³	0,16	7,6281 + 01	-1,0978 + 02	6,5024 + 01	-1,8503 + 01	2,5333 + 00	-1,3495 - 01
2,0	10 ² ÷ 2 · 10 ³	0,18	7,1849 + 01	-1,0324 + 02	6,1273 + 01	-1,7503 + 01	2,4190 + 00	-1,2936 - 01
2,0	10 ² ÷ 2 · 10 ³	0,20	5,2316 + 01	-7,4466 + 01	4,4755 + 01	-1,2929 + 01	1,7969 + 00	-9,7440 - 02
2,0	10 ² ÷ 2 · 10 ³	0,22	9,4997 + 01	-1,3980 + 02	8,3413 + 01	-2,4049 + 01	3,3540 + 00	-1,8252 - 01
2,0	10 ² ÷ 10 ⁴	0,24	7,0497 + 01	-1,0409 + 02	6,2883 + 01	-1,8296 + 01	2,5693 + 00	-1,4078 - 01
2,0	10 ² ÷ 10 ⁴	0,26	1,0544 + 02	-1,5897 + 02	9,7350 + 01	-2,8669 + 01	4,0908 + 00	-2,2776 - 01
2,0	10 ² ÷ 5 · 10 ⁴	0,28	-6,6831 + 01	1,1768 + 02	-7,7815 + 01	2,5201 + 01	-3,9961 + 00	2,4701 - 01
2,2	10 ² ÷ 3 · 10 ³	0,029	5,5383 + 01	-7,0575 + 01	4,0002 + 01	-1,0757 + 01	1,3576 + 00	-6,5450 - 02
2,2	10 ² ÷ 2 · 10 ³	0,04	6,2187 + 01	-8,5489 + 01	5,0577 + 01	-1,4200 + 01	1,8957 + 00	-9,6356 - 02
2,2	10 ² ÷ 2 · 10 ³	0,06	5,7628 + 01	-7,6174 + 01	4,6144 + 01	-1,3036 + 01	1,7531 + 00	-9,1246 - 02
2,2	10 ² ÷ 2 · 10 ³	0,08	8,9409 + 01	-1,2439 + 02	7,1885 + 01	-2,0004 + 01	2,6733 + 00	-1,3979 - 01
2,2	10 ² ÷ 2 · 10 ³	0,10	4,6542 + 01	-6,3525 + 01	3,8223 + 01	-1,0977 + 01	1,4980 + 00	-7,9232 - 02
2,2	10 ² ÷ 2 · 10 ³	0,12	4,2061 + 01	-5,5597 + 01	3,2789 + 01	-9,2347 + 00	1,2344 + 00	-6,3991 - 02

Продолжение табл. 2

L	E, кэВ	$\frac{B_0}{10^{-4} \Gamma\text{а}}$	A ₁	A ₂	A ₃	A ₄	A ₅	A ₆
2,2	10 ² ÷ 10 ⁵	0,14	3,7197 + 01	-4,7248 + 01	2,7146 + 01	-7,4137 + 00	9,5167 + 01	-4,6955 - 02
2,2	10 ² ÷ 10 ⁶	0,16	-2,5578 + 01	5,1610 + 01	-3,3350 + 01	1,0325 + 01	-1,6596 + 00	1,3397 - 01
2,2	10 ² ÷ 10 ⁷	0,18	5,5831 + 01	-7,6832 + 01	4,4985 + 01	-1,2647 + 01	1,7002 + 00	-8,8766 - 02
2,2	10 ² ÷ 10 ⁸	0,20	3,1537 + 01	-4,1357 + 01	2,4670 + 01	-6,8834 + 00	9,0078 - 01	-4,5145 - 02
2,2	10 ² ÷ 10 ⁹	0,22	3,3244 + 01	-4,1016 + 01	2,2375 + 01	-5,6537 + 00	6,4072 - 01	-2,5910 - 02
2,2	10 ² ÷ 10 ¹⁰	0,24	-3,0137 + 01	5,3948 + 01	-3,2523 + 01	9,5956 + 00	-1,3975 + 00	7,9186 - 02
2,2	10 ² ÷ 5 · 10 ⁴	0,26	6,6598 + 01	-9,7810 + 01	5,9102 + 01	-1,7375 + 01	2,4451 + 00	1,3580 - 01
2,2	10 ² ÷ 2 · 10 ⁴	0,28	4,6082 + 01	-5,9566 + 01	2,9208 + 01	-5,1534 + 00	4,6222 - 01	-
2,4	10 ² ÷ 10 ⁴	0,022	4,1555 + 01	-5,3045 + 01	3,1929 + 01	-9,0163 + 00	1,1748 + 00	-5,7843 - 02
2,4	10 ² ÷ 10 ⁴	0,04	9,8184 + 01	-1,4321 + 02	8,7194 + 01	-2,5556 + 01	3,5925 + 00	-1,9583 - 01
2,4	10 ² ÷ 10 ⁴	0,06	1,8582 + 01	-1,9866 + 01	1,3083 + 01	-4,0812 + 00	5,7622 - 01	-3,1467 - 02
2,4	10 ² ÷ 10 ⁴	0,08	6,2151 + 01	-8,8765 + 01	5,5007 + 01	-1,6447 + 01	2,3562 + 00	-1,3178 - 01
2,4	10 ² ÷ 10 ⁴	0,10	5,7130 + 01	-7,9022 + 01	4,7399 + 01	-1,3643 + 01	1,9734 + 00	-9,9675 - 02
2,4	10 ² ÷ 10 ⁴	0,12	9,3028 + 01	-1,3859 + 02	8,5131 + 01	-2,5972 + 01	3,7876 + 00	-2,1571 - 01
2,4	10 ² ÷ 10 ⁴	0,14	5,2088 + 01	-7,1752 + 01	4,3164 + 01	-1,2471 + 01	1,7165 + 00	-9,1646 - 02
2,4	10 ² ÷ 5 · 10 ⁴	0,16	-5,2877 + 00	1,8556 + 01	-3,5771 + 00	2,5089 - 02	1,1817 - 01	-1,3378 - 02
2,4	10 ² ÷ 5 · 10 ⁴	0,18	3,4097 + 01	-4,2527 + 01	2,4223 + 01	-5,4812 + 00	7,9073 - 01	-3,5476 - 02
2,4	10 ² ÷ 5 · 10 ⁴	0,20	1,3502 + 02	-2,0584 + 02	1,2682 + 02	-3,7925 + 01	5,5055 + 00	-3,1273 - 01
2,4	10 ² ÷ 5 · 10 ⁴	0,22	3,8517 + 01	-5,5576 + 01	3,5511 + 01	-1,0857 + 01	1,5833 + 00	-9,0033 - 02
2,4	10 ² ÷ 5 · 10 ⁴	0,24	5,5407 + 01	-8,0589 + 01	4,9733 + 01	-1,4801 + 01	2,1152 + 00	-1,1786 - 01
2,4	10 ² ÷ 5 · 10 ⁴	0,26	1,9047 + 02	-2,9785 + 02	1,8559 + 02	-5,5362 + 01	8,3493 + 00	-4,8522 - 01
2,4	10 ² ÷ 10 ⁴	0,28	3,4267 + 01	-4,1304 + 01	2,0071 + 01	-4,2706 + 00	3,2687 - 01	-
2,6	10 ² ÷ 5 · 10 ⁴	0,018	2,0500 + 01	-1,7055 + 01	8,3755 + 00	-1,5106 + 00	3,8929 - 03	1,3462 - 02
2,6	10 ² ÷ 5 · 10 ⁴	0,02	1,4779 + 02	-2,2336 + 02	1,3831 + 02	-4,1427 + 01	5,9991 + 00	-3,2028 - 01
2,6	10 ² ÷ 5 · 10 ⁴	0,04	1,3474 + 02	-2,0713 + 02	1,3065 + 02	-3,9884 + 01	5,8924 + 00	-3,3929 - 01
2,6	10 ² ÷ 5 · 10 ⁴	0,06	5,8965 + 00	-2,3223 + 00	3,9352 + 00	-1,7515 + 00	2,8136 - 01	-1,6559 - 02
2,6	10 ² ÷ 5 · 10 ⁴	0,08	5,8695 + 01	-8,7363 + 01	5,6450 + 01	-1,7572 + 01	2,5884 + 00	-1,4714 - 01
2,6	10 ² ÷ 5 · 10 ⁴	0,10	1,3686 + 02	-2,1878 + 02	1,4305 + 02	-4,5376 + 01	6,9660 + 00	-4,1692 - 01
2,6	10 ² ÷ 5 · 10 ⁴	0,12	1,3254 + 02	-2,0064 + 02	1,2814 + 02	-3,9194 + 01	5,8134 + 00	-3,3712 - 01

Продолжение табл. 2

L	E, кэВ	$\frac{E}{10^{-4}} \Gamma$	A ₁	A ₂	A ₃	A ₄	A ₅	A ₆	A ₇
2,6	10 ² ÷ 5 · 10 ⁴	0,14	4,8691 + 01	-7,0457 + 01	4,5542 + 01	-1,4182 + 01	2,1061 + 00	-1,2146 - 01	
2,6	10 ² ÷ 5 · 10 ⁴	0,16	-5,4196 + 01	8,3999 + 01	-5,1923 + 01	1,4627 + 01	-2,0445 + 00	1,1216 - 01	
2,6	10 ² ÷ 5 · 10 ⁴	0,18	-2,6488 + 01	4,7883 + 01	-2,7189 + 01	7,5690 + 00	-1,0608 + 00	5,8800 - 02	
2,6	10 ² ÷ 5 · 10 ⁴	0,20	2,4301 + 01	-2,5631 + 01	1,4090 + 01	-3,2238 + 00	2,5538 - 01	-	
2,6	10 ² ÷ 5 · 10 ⁴	0,22	4,2530 + 01	-5,1290 + 01	2,6037 + 01	-5,7226 + 00	4,4619 - 01	-	
2,6	10 ² ÷ 5 · 10 ⁴	0,24	1,9542 + 01	-2,1926 + 01	1,2486 + 01	-3,0569 + 00	2,5699 - 01	-	
2,6	10 ² ÷ 5 · 10 ⁴	0,26	7,8971 + 00	-4,1231 + 00	2,3631 + 00	-6,0065 - 01	4,1896 - 02	-	
2,6	10 ² ÷ 5 · 10 ⁴	0,28	5,7719 + 01	-7,4058 + 01	3,7346 + 01	-8,1519 + 00	6,3871 - 01	-	
2,6	10 ² ÷ 4 · 10 ⁵	0,30	-1,8312 + 01	2,3912 + 01	-9,1379 + 00	1,1024 + 00	-	-	
2,8	10 ² ÷ 5 · 10 ⁴	0,014	1,6685 + 02	-2,5213 + 02	1,5565 + 02	-4,6499 + 01	6,7111 + 00	-3,7790 - 01	
2,8	10 ² ÷ 5 · 10 ⁴	0,02	1,1296 + 01	-9,0441 + 00	7,4415 + 00	-2,4130 + 00	2,9221 - 01	-1,0880 - 02	
2,8	10 ² ÷ 2 · 10 ⁴	0,04	3,8244 + 01	-4,5015 + 01	2,4238 + 01	-5,6252 + 00	4,5667 - 01	-	
2,8	10 ² ÷ 2 · 10 ⁴	0,06	8,2628 + 00	-6,4807 + 00	4,9531 + 00	-1,5448 + 00	1,4046 - 01	-	
2,8	10 ² ÷ 2 · 10 ⁴	0,08	3,4195 + 00	1,0952 + 00	1,7116 + 00	-8,7717 - 01	9,1473 - 02	-	
2,8	10 ² ÷ 2 · 10 ⁴	0,10	1,4335 + 01	-1,3250 + 01	8,3369 + 00	-2,1774 + 00	1,8318 - 01	-	
2,8	10 ² ÷ 2 · 10 ⁴	0,12	-1,8015 + 01	2,9952 + 01	-1,2593 + 01	2,1789 + 00	-1,4658 - 01	-	
2,8	10 ² ÷ 2 · 10 ⁴	0,14	2,7696 + 01	-3,2093 + 01	1,7985 + 01	-4,3513 + 00	3,6470 - 01	-	
2,8	10 ² ÷ 2 · 10 ⁴	0,16	-9,0264 + 00	1,8493 + 01	-7,4737 + 00	1,1740 + 00	-7,2363 - 02	-	
2,8	10 ² ÷ 2 · 10 ⁴	0,18	8,0687 + 00	-5,8077 + 00	4,8094 + 00	-1,4843 + 00	1,3681 - 01	-	
2,8	10 ² ÷ 2 · 10 ⁴	0,20	-3,5244 + 00	1,0378 + 01	-3,3563 + 00	2,7240 - 01	-	-	
2,8	10 ² ÷ 2 · 10 ⁴	0,22	-1,6584 + 00	8,1991 + 00	-2,6371 + 00	1,9821 - 01	-	-	
2,8	10 ² ÷ 2 · 10 ⁴	0,24	8,5116 - 01	5,4581 + 00	-1,7637 + 00	1,1013 - 01	-	-	
2,8	10 ² ÷ 2 · 10 ⁴	0,26	3,0509 + 00	3,1134 + 00	-1,0969 + 00	5,2243 - 02	-	-	
2,8	10 ² ÷ 10 ⁴	0,28	5,0350 + 00	8,3793 - 02	9,7062 - 02	-9,2702 - 02	-	-	
2,8	10 ² ÷ 10 ⁴	0,30	4,3391 + 00	4,0946 - 01	-8,8519 - 02	-6,1554 - 02	-	-	
2,8	10 ² ÷ 10 ⁵	0,32	3,1404 + 00	6,2303 - 01	-3,4495 - 01	-	-	-	
3,0	10 ² ÷ 2 · 10 ⁴	0,011	2,2031 + 01	-2,3688 + 01	1,4676 + 01	-3,7399 + 00	3,1472 - 01	-	
3,0	10 ² ÷ 2 · 10 ⁴	0,02	-7,1515 + 00	1,4949 + 01	-4,2490 + 00	2,8359 - 01	-	-	
3,0	10 ² ÷ 2 · 10 ⁴	0,04	-9,7618 + 00	1,7381 + 01	-5,1942 + 00	3,9829 - 01	-	-	

Продолжение табл. 2

L	E, кэВ	$\frac{E}{10^{-4} \text{ Тэ}}$	A_1	A_2	A_3	A_4	A_5	A_6
3.0	$10^2 \div 2 \cdot 10^4$	0,06	-7,3625 + 00	1,5334 + 01	-4,7586 + 00	3,7574 - 01	-	-
3.0	$10^2 \div 2 \cdot 10^4$	0,08	-8,6430 + 00	1,6348 + 01	-5,0921 + 00	4,1232 - 01	-	-
3.0	$10^2 \div 2 \cdot 10^4$	0,10	-3,6653 + 00	1,1149 + 01	-3,3792 + 00	2,2928 - 01	-	-
3.0	$10^2 \div 2 \cdot 10^4$	0,12	-7,6883 + 00	1,5326 + 01	-4,8328 + 00	3,9238 - 01	-	-
3.0	$10^2 \div 10^5$	0,14	1,9374 - 01	6,9651 + 00	-2,0480 + 00	9,3781 - 02	-	-
3.0	$10^2 \div 10^5$	0,16	4,2445 + 00	2,5639 + 00	-5,4165 - 01	-7,4896 - 02	-	-
3.0	$10^2 \div 10^5$	0,18	9,5589 - 01	6,1944 + 00	-1,8964 + 00	-8,5298 - 02	-	-
3.0	$10^2 \div 10^5$	0,20	-3,8881 + 00	1,1156 + 01	-3,5764 + 00	2,7190 - 01	-	-
3.0	$10^2 \div 10^5$	0,22	-3,7546 + 00	1,0360 + 01	-3,1736 + 00	2,1520 - 01	-	-
3.0	$10^2 \div 10^5$	0,24	-2,8910 + 00	9,5601 + 00	-3,0180 + 00	2,1147 - 01	-	-
3.0	$10^2 \div 10^5$	0,26	-1,9248 + 00	8,3092 + 00	-2,6677 + 00	1,7771 - 01	-	-
3.0	$10^2 \div 10^5$	0,28	3,6545 + 00	2,0426 + 00	-4,7929 - 01	-6,4815 - 02	-	-
3.0	$10^2 \div 4 \cdot 10^5$	0,30	-5,3336 + 00	1,1645 + 01	-4,0559 + 00	3,7034 - 01	-	-
3.0	$10^2 \div 4 \cdot 10^5$	0,32	3,2373 + 01	-3,3557 + 01	1,2974 + 01	-1,6958 + 00	-	-
3.0	$10^2 \div 8 \cdot 10^5$	0,34	2,8465 + 00	-7,7171 - 01	-	-	-	-
3.2	$10^2 \div 2 \cdot 10^4$	0,009	6,9358 + 01	-8,7709 + 01	4,6199 + 01	-1,0454 + 01	8,3549 - 01	-
3.2	$10^2 \div 2 \cdot 10^4$	0,01	-4,3663 + 00	9,9381 + 00	-2,0702 + 00	-	-	-
3.2	$10^2 \div 2 \cdot 10^4$	0,02	1,6653 + 00	6,4019 + 00	-1,6603 + 00	1,9501 - 02	-	-
3.2	$10^2 \div 10^5$	0,04	3,8609 + 00	3,2205 + 00	-3,7906 - 01	-1,5069 - 01	-	-
3.2	$10^2 \div 10^5$	0,06	-5,9380 + 00	1,4425 + 01	-4,5495 + 00	3,4367 - 01	-	-
3.2	$10^2 \div 10^5$	0,08	-2,7789 + 00	1,0773 + 01	-3,2727 + 00	2,0179 - 01	-	-
3.2	$10^2 \div 10^5$	0,10	-6,2358 - 01	7,8537 + 00	-2,1722 + 00	7,3560 - 02	-	-
3.2	$10^2 \div 10^5$	0,12	4,9104 + 00	2,7406 + 00	-7,0418 - 01	-6,1204 - 02	-	-
3.2	$10^2 \div 10^5$	0,14	1,9477 + 00	5,8585 + 00	-1,8031 + 00	6,1420 - 02	-	-
3.2	$10^2 \div 10^5$	0,16	-4,2691 + 00	1,2069 + 01	-3,8136 + 00	2,7142 - 01	-	-
3.2	$10^2 \div 10^5$	0,18	-4,2444 + 00	1,2240 + 01	-3,9815 + 00	2,9769 - 01	-	-
3.2	$10^2 \div 10^5$	0,20	-1,8986 + 00	9,6635 + 00	-3,1181 + 00	2,0484 - 01	-	-
3.2	$10^2 \div 8 \cdot 10^5$	0,22	1,3766 + 00	5,3586 + 00	-1,4476 + 00	-	-	-
3.2	$10^2 \div 8 \cdot 10^5$	0,24	4,2486 - 01	5,8693 + 00	-1,5370 + 00	-	-	-
3.2	$10^2 \div 4 \cdot 10^5$	0,26	1,8249 - 01	5,9530 + 00	-1,5652 + 00	-	-	-

Продолжение табл. 2

L	$E, \text{эВ}$	$\frac{P}{10^{-3} \text{Тл}}$	A_1	A_2	A_3	A_4	A_5	A_6
3,2	$10^2 \div 4 \cdot 10^2$	0,28	2,7035—01	5,6114+00	—	—	—	—
3,2	$10^2 \div 4 \cdot 10^2$	0,30	1,6156+00	3,9928+00	—	—	—	—
3,2	$10^2 \div 10^3$	0,32	9,6746+00	—4,6846+00	—	—	—	—
3,2	$10^2 \div 8 \cdot 10^2$	0,34	4,0420+00	—1,2662+00	—	—	—	—
3,4	$10^2 \div 10^4$	0,008	1,1772+02	—1,5700+02	8,3830+01	—1,9906+01	—	—
3,4	$10^2 \div 10^4$	—0,01	2,2814+00	5,7671+00	—1,2759+00	—5,1955—02	—	—
3,4	$10^2 \div 10^4$	0,02	9,7622+00	—2,6211+00	1,5745+00	—3,6719—01	—	—
3,4	$10^2 \div 10^4$	0,04	—2,6772+00	1,0372+01	—2,8472+00	1,1284—01	—	—
3,4	$10^2 \div 10^4$	0,06	—1,6209+00	9,5417+00	—2,7325+00	1,1672—01	—	—
3,4	$10^2 \div 10^4$	0,08	—4,5537+00	1,2737+01	—3,9354+00	2,5310—01	—	—
3,4	$10^2 \div 10^4$	0,10	—4,8570+00	1,2794+01	—3,9724+00	2,7019—01	—	—
3,4	$10^2 \div 10^4$	0,12	—5,1540+00	1,3529+01	—4,4030+00	3,3597—01	—	—
3,4	$10^2 \div 8 \cdot 10^2$	0,14	—2,1547+00	1,0376+01	—3,3602+00	2,2353—01	—	—
3,4	$10^2 \div 8 \cdot 10^2$	0,16	—3,3854+00	1,1430+01	—3,5519+00	2,4730—01	—	—
3,4	$10^2 \div 8 \cdot 10^2$	0,18	3,7367+00	3,2585+00	—6,8791—01	—1,0054—01	—	—
3,4	$10^2 \div 8 \cdot 10^2$	0,20	—1,0965+00	8,6759+00	—2,5893+00	1,3789—01	—	—
3,4	$10^2 \div 8 \cdot 10^2$	0,22	—8,2681—02	7,5933+00	—2,3670+00	1,1424—01	—	—
3,4	$10^2 \div 4 \cdot 10^2$	0,24	1,9455+00	5,1228+00	—1,4722+00	—	—	—
3,4	$10^2 \div 4 \cdot 10^2$	0,26	6,8911—02	6,3050+00	—1,6767+00	—	—	—
3,4	$10^2 \div 4 \cdot 10^2$	0,28	2,2926+00	4,1794+00	—1,2632+00	—	—	—
3,4	$10^2 \div 4 \cdot 10^2$	0,30	3,7858+00	2,3937+00	—9,3319—01	—	—	—
3,4	$10^2 \div 10^3$	0,32	4,2843+00	2,4071—01	—4,4194—01	—	—	—
3,4	$10^2 \div 8 \cdot 10^2$	0,34	6,2313+00	—2,1179+00	—	—	—	—
3,6	$10^2 \div 10^4$	0,007	1,5343—01	7,4553+00	—1,4853+00	—8,3326—02	—	—
3,6	$10^2 \div 10^4$	0,01	1,2635+00	6,0364+00	—1,1128+00	—1,1119—01	—	—
3,6	$10^2 \div 10^4$	0,02	5,0911+00	1,9784+00	1,7090—01	—2,4629—01	—	—
3,6	$10^2 \div 8 \cdot 10^2$	0,04	2,3450+00	4,5375+00	—6,6035—01	—1,6319—01	—	—
3,6	$10^2 \div 8 \cdot 10^2$	0,06	—6,9508+00	1,4802+01	—4,3680+00	2,6407—01	—	—
3,6	$10^2 \div 4 \cdot 10^2$	0,08	—8,9376—01	7,8753+00	—1,9637+00	—	—	—

Продолжение табл. 2

L	E, эВB	$\frac{B}{10^{-3}Ta}$	A ₁	A ₂	A ₃	A ₄	A ₅	A ₆
3,6	10 ² ÷ 4 · 10 ³	0,10	2,9509—01	6,9535+00	—1,8087+00	—	—	—
3,6	10 ² ÷ 4 · 10 ³	0,12	1,2331+00	6,2929+00	—1,7022+00	—	—	—
3,6	10 ² ÷ 4 · 10 ³	0,14	2,2201—01	6,9719+00	—1,8293+00	—	—	—
3,6	10 ² ÷ 4 · 10 ³	0,16	—4,3395—03	7,1097+00	—1,8595+00	—	—	—
3,6	10 ² ÷ 4 · 10 ³	0,18	—8,4964—01	7,6292+00	—1,9521+00	—	—	—
3,6	10 ² ÷ 4 · 10 ³	0,20	5,4115—01	6,4173+00	—1,7233+00	—	—	—
3,6	10 ² ÷ 4 · 10 ³	0,22	—1,4721—01	6,8773+00	—1,8222+00	—	—	—
3,6	10 ² ÷ 4 · 10 ³	0,24	—1,1261+00	7,2904+00	—1,8608+00	—	—	—
3,6	10 ² ÷ 4 · 10 ³	0,26	2,9543—01	6,1066+00	—1,6523+00	—	—	—
3,6	10 ² ÷ 4 · 10 ³	0,28	1,0398+00	5,1286+00	—1,4571+00	—	—	—
3,6	10 ² ÷ 4 · 10 ³	0,30	4,6150+00	1,8726+00	—8,5449—01	—	—	—
3,6	10 ² ÷ 10 ³	0,32	9,1509+00	—3,2622+00	2,7769—01	—	—	—
3,6	10 ² ÷ 8 · 10 ²	0,34	—1,8602+01	2,0421+01	—4,7350+00	—	—	—
3,8	10 ² ÷ 4 · 10 ³	0,006	1,9739+01	—1,5586+01	7,3018+00	—1,1640+00	—	—
3,8	10 ² ÷ 4 · 10 ³	0,01	—2,8928—01	8,2933+00	—2,0878+00	—	—	—
3,8	10 ² ÷ 4 · 10 ³	0,02	—2,9255+00	1,0071+01	—2,4134+00	—	—	—
3,8	10 ² ÷ 4 · 10 ³	0,04	—3,5981+00	1,0393+01	—2,4762+00	—	—	—
3,8	10 ² ÷ 4 · 10 ³	0,06	—4,0948+00	1,0558+01	—2,5027+00	—	—	—
3,8	10 ² ÷ 4 · 10 ³	0,08	—2,2146+00	9,0760+00	—2,2456+00	—	—	—
3,8	10 ² ÷ 4 · 10 ³	0,10	—2,3631+00	9,2027+00	—2,2965+00	—	—	—
3,8	10 ² ÷ 4 · 10 ³	0,12	—2,2372+00	9,0623+00	—2,2674+00	—	—	—
3,8	10 ² ÷ 4 · 10 ³	0,14	—1,4637+00	8,3967+00	—2,1405+00	—	—	—
3,8	10 ² ÷ 4 · 10 ³	0,16	—1,8331+00	8,5424+00	—2,1611+00	—	—	—
3,8	10 ² ÷ 4 · 10 ³	0,18	—2,1534+00	8,6473+00	—2,1692+00	—	—	—
3,8	10 ² ÷ 4 · 10 ³	0,20	—1,6499+00	8,1366+00	—2,0785+00	—	—	—
3,8	10 ² ÷ 4 · 10 ³	0,22	—7,7645—01	7,4622+00	—1,9646+00	—	—	—
3,8	10 ² ÷ 4 · 10 ³	0,24	—7,8876—01	7,1650+00	—1,8999+00	—	—	—
3,8	10 ² ÷ 4 · 10 ³	0,26	—7,7395+00	7,8100+00	—2,0111+00	—	—	—
3,8	10 ² ÷ 4 · 10 ³	0,28	—1,5424+00	7,3248+00	—1,9129+00	—	—	—
3,8	10 ² ÷ 10 ³	0,30	4,6227+00	1,9287+00	—8,8919—01	—	—	—

Продолжение табл. 2

L	E, кэВ	$\frac{\delta}{10^{-4}} \text{Тл}$	A ₁	A ₂	A ₃	A ₄	A ₅	A ₆	A ₇
3,8	10 ² ÷ 10 ³	0,32	7,0798 + 00	-1,2776 + 00	-1,2755 - 01	-	-	-	-
3,8	10 ² ÷ 10 ³	0,34	-3,2316 ÷ 00	6,8987 + 00	-1,7727 + 00	-	-	-	-
3,8	10 ² ÷ 8 · 10 ²	0,36	5,8314 + 00	-1,7579 + 00	-	-	-	-	-
4,0	10 ² ÷ 4 · 10 ²	0,005	2,1661 + 01	-1,9446 + 01	9,3351 + 00	-1,5135 + 00	-	-	-
4,0	10 ² ÷ 4 · 10 ²	0,01	-3,9697 + 00	1,1234 + 01	-2,6815 + 00	-	-	-	-
4,0	10 ² ÷ 4 · 10 ²	0,02	-4,2189 + 00	1,1185 + 01	-2,6776 + 00	-	-	-	-
4,0	10 ² ÷ 4 · 10 ²	0,04	-4,9326 + 00	1,1335 + 01	-2,6885 + 00	-	-	-	-
4,0	10 ² ÷ 4 · 10 ²	0,06	-2,3539 + 00	9,3700 + 00	-2,3527 + 00	-	-	-	-
4,0	10 ² ÷ 4 · 10 ²	0,08	-3,4439 + 00	1,0170 + 01	-2,5028 + 00	-	-	-	-
4,0	10 ² ÷ 4 · 10 ²	0,10	-3,3921 + 00	1,0032 + 01	-2,4764 + 00	-	-	-	-
4,0	10 ² ÷ 4 · 10 ²	0,12	-2,5975 + 00	9,3585 + 00	-2,3598 + 00	-	-	-	-
4,0	10 ² ÷ 4 · 10 ²	0,14	-2,5897 + 00	9,3485 + 00	-2,3736 + 00	-	-	-	-
4,0	10 ² ÷ 4 · 10 ²	0,16	-2,6897 + 00	9,2903 + 00	-2,3455 + 00	-	-	-	-
4,0	10 ² ÷ 4 · 10 ²	0,18	-2,8632 + 00	9,2168 + 00	-2,3145 + 00	-	-	-	-
4,0	10 ² ÷ 4 · 10 ²	0,20	-3,2999 + 00	9,6891 + 00	-2,4270 + 00	-	-	-	-
4,0	10 ² ÷ 4 · 10 ²	0,22	-2,5801 + 00	8,7215 + 00	-2,2207 + 00	-	-	-	-
4,0	10 ² ÷ 4 · 10 ²	0,24	-1,9875 + 00	8,2769 + 00	-2,1489 + 00	-	-	-	-
4,0	10 ² ÷ 10 ²	0,26	7,8247 - 01	5,6705 + 00	-1,5851 + 00	-	-	-	-
4,0	10 ² ÷ 10 ²	0,28	-1,8990 + 00	7,7791 + 00	-2,0460 + 00	-	-	-	-
4,0	10 ² ÷ 10 ²	0,30	1,0643 + 00	4,9581 + 00	-1,5267 + 00	-	-	-	-
4,0	10 ² ÷ 10 ²	0,32	3,0345 + 00	2,2263 + 00	-8,6978 - 01	-	-	-	-
4,0	10 ² ÷ 10 ²	0,34	-5,4783 + 00	8,5288 + 00	-2,0696 + 00	-	-	-	-
4,0	10 ² ÷ 8 · 10 ²	0,36	5,6243 + 00	-1,6412 + 00	-	-	-	-	-
4,0	10 ² ÷ 8 · 10 ²	0,38	2,7370 + 00	-8,6860 - 01	-	-	-	-	-
4,2	10 ² ÷ 4 · 10 ²	0,004	2,7223 + 01	-2,5304 + 01	1,1365 + 01	-1,7506 + 00	-	-	-
4,2	10 ² ÷ 4 · 10 ²	0,005	-1,908 + 00	9,658 + 00	-2,352 + 00	-	-	-	-
4,2	10 ² ÷ 4 · 10 ²	0,01	-6,0578 + 00	1,2979 + 01	-3,0758 + 00	-	-	-	-
4,2	10 ² ÷ 4 · 10 ²	0,02	-5,0009 + 00	1,1877 + 01	-2,8723 + 00	-	-	-	-
4,2	10 ² ÷ 4 · 10 ²	0,04	-6,1805 + 00	1,2613 + 01	-3,0222 + 00	-	-	-	-
4,2	10 ² ÷ 4 · 10 ²	0,06	-4,8869 + 00	1,1544 + 01	-2,8277 + 00	-	-	-	-

Продолжение табл. 2

L	E, кэВ	$B, 10^{-7}$ Тл	A_1	A_1	A_1	A_2	A_3	A_4	A_5
4,2	$10^2 \div 10^3$	0,08	-5,5718 + 00	1,1997 + 01	-2,9317 + 00	-	-	-	-
4,2	$10^2 \div 10^3$	0,10	-1,1320 + 00	8,3178 + 00	-2,2013 + 00	-	-	-	-
4,2	$10^2 \div 10^3$	0,12	1,9419 - 01	7,1319 + 00	-1,9634 + 00	-	-	-	-
4,2	$10^2 \div 10^3$	0,14	-2,8883 + 00	9,5633 + 00	-2,4402 + 00	-	-	-	-
4,2	$10^2 \div 10^3$	0,16	-2,5945 + 00	9,1998 + 00	-2,3748 + 00	-	-	-	-
4,2	$10^2 \div 10^3$	0,18	3,5809 + 00	4,0602 + 00	-1,3502 + 00	-	-	-	-
4,2	$10^2 \div 10^3$	0,20	-1,9697 + 00	8,3094 + 00	-2,1625 + 00	-	-	-	-
4,2	$10^2 \div 10^3$	0,22	-3,1339 + 00	9,3877 + 00	-2,4109 + 00	-	-	-	-
4,2	$10^2 \div 10^3$	0,24	-1,6030 + 00	8,0029 + 00	-2,1246 + 00	-	-	-	-
4,2	$10^2 \div 10^3$	0,26	-4,6088 + 00	1,0352 + 01	-2,6000 + 00	-	-	-	-
4,2	$10^2 \div 10^3$	0,28	-5,3864 + 00	1,0525 + 01	-2,5901 + 00	-	-	-	-
4,2	$10^2 \div 10^3$	0,30	1,0491 + 00	5,0179 + 00	-1,5536 + 00	-	-	-	-
4,2	$10^2 \div 10^3$	0,32	2,4638 + 00	2,6488 + 00	-9,4949 - 01	-	-	-	-
4,2	$10^2 \div 10^3$	0,34	-5,3977 + 00	2,5498 + 00	-2,1009 + 00	-	-	-	-
4,2	$10^2 \div 10^3$	0,36	-4,0681 + 00	6,5087 + 00	-1,5624 + 00	-	-	-	-
4,2	$10^2 \div 4 \cdot 10^3$	0,38	3,623 + 00	-1,161 + 00	-	-	-	-	-
4,4	$10^2 \div 10^3$	0,004	3,538 + 00	4,965 + 00	-1,392 + 00	-	-	-	-
4,4	$10^2 \div 10^3$	0,005	1,7381 + 01	-3,9960 + 00	-	-	-	-	-
4,4	$10^2 \div 10^3$	0,01	-2,628 + 01	1,031 + 01	-2,626 + 00	-	-	-	-
4,4	$10^2 \div 10^3$	0,02	-9,582 - 01	8,308 + 00	-2,162 + 00	-	-	-	-
4,4	$10^2 \div 10^3$	0,04	-6,056 + 00	1,287 + 01	-3,171 + 00	-	-	-	-
4,4	$10^2 \div 10^3$	0,06	-6,506 + 00	1,319 + 01	-3,257 + 00	-	-	-	-
4,4	$10^2 \div 10^3$	0,08	-5,086 + 00	1,180 + 01	-2,956 + 00	-	-	-	-
4,4	$10^2 \div 10^3$	0,10	-4,377 + 00	1,120 + 01	-2,852 + 00	-	-	-	-
4,4	$10^2 \div 10^3$	0,12	-1,619 + 00	8,691 + 00	-2,321 + 00	-	-	-	-
4,4	$10^2 \div 10^3$	0,14	-3,246 + 00	1,013 + 01	-2,636 + 00	-	-	-	-
4,4	$10^2 \div 10^3$	0,16	-3,453 - 01	7,586 + 00	-2,107 + 00	-	-	-	-
4,4	$10^2 \div 10^3$	0,18	8,344 + 00	7,383 + 01	-3,356 + 00	-	-	-	-
4,4	$10^2 \div 10^3$	0,20	-4,344 + 00	1,060 + 01	-2,712 + 00	-	-	-	-
4,4	$10^2 \div 10^3$	0,22	-1,261 + 00	8,071 + 00	-2,220 + 00	-	-	-	-
4,4	$10^2 \div 10^3$	0,24	-2,231 + 00	8,743 + 00	-2,352 + 00	-	-	-	-

Продолжение табл. 2

Г	E , кэВ	R , 10^{-3} г/см ²	A_1	A_2	A_3	A_4	A_5	A_6
4,4	$10^2 \div 10^3$	0,26	-4,075 + 00	1,007 + 01	-2,613 + 00	-	-	-
4,4	$10^2 \div 10^3$	0,28	2,582 + 00	4,059 + 00	-1,350 + 00	-	-	-
4,4	$10^2 \div 10^3$	0,30	-9,642 - 01	6,900 + 00	-1,994 + 00	-	-	-
4,4	$10^2 \div 10^3$	0,32	-1,836 + 00	6,075 + 00	-1,632 + 00	-	-	-
4,4	$10^2 \div 10^3$	0,34	-9,252 + 00	1,134 + 01	-2,609 + 00	-	-	-
4,4	$10^2 \div 10^3$	0,36	-4,255 + 00	6,901 + 00	-1,769 + 00	-	-	-
4,4	$10^2 \div 8 \cdot 10^2$	0,36	-1,871 + 00	3,954 + 00	-1,149 + 00	-	-	-
4,6	$10^2 \div 10^3$	0,003	-1,973 + 00	9,749 + 00	-2,420 + 00	-	-	-
4,6	$10^2 \div 10^3$	0,005	-3,6394 + 01	3,4685 + 01	-6,9797 + 00	-	-	-
4,6	$10^2 \div 10^3$	0,01	-3,297 + 00	1,102 + 01	-2,862 + 00	-	-	-
4,6	$10^2 \div 10^3$	0,02	-4,580 + 00	1,171 + 01	-2,960 + 00	-	-	-
4,6	$10^2 \div 10^3$	0,04	-7,673 + 00	1,447 + 01	-3,591 + 00	-	-	-
4,6	$10^2 \div 10^3$	0,06	-7,169 + 00	1,389 + 01	-3,433 + 00	-	-	-
4,6	$10^2 \div 10^3$	0,08	-8,011 + 00	1,452 + 01	-3,608 + 00	-	-	-
4,6	$10^2 \div 10^3$	0,10	-2,070 + 00	9,396 + 00	-2,562 + 00	-	-	-
4,6	$10^2 \div 10^3$	0,12	-2,633 + 00	9,917 + 00	-2,682 + 00	-	-	-
4,6	$10^2 \div 10^3$	0,14	-5,533 + 00	1,214 + 01	-3,109 + 00	-	-	-
4,6	$10^2 \div 10^3$	0,16	-6,075 + 00	1,264 + 01	-3,225 + 00	-	-	-
4,6	$10^2 \div 10^3$	0,18	-8,229 + 00	1,407 + 01	-3,475 + 00	-	-	-
4,6	$10^2 \div 10^3$	0,20	-5,740 + 00	1,212 + 01	-3,121 + 00	-	-	-
4,6	$10^2 \div 10^3$	0,22	-3,161 + 00	9,851 + 00	-2,559 + 00	-	-	-
4,6	$10^2 \div 10^3$	0,24	-2,745 + 00	9,390 + 00	-2,565 + 00	-	-	-
4,6	$10^2 \div 10^3$	0,26	-6,546 + 00	1,217 + 01	-3,078 + 00	-	-	-
4,6	$10^2 \div 10^3$	0,28	-6,785 + 00	1,180 + 01	-2,956 + 00	-	-	-
4,6	$10^2 \div 10^3$	0,30	-7,807 - 01	6,718 + 00	-1,966 + 00	-	-	-
4,6	$10^2 \div 10^3$	0,32	-3,794 - 01	5,241 + 00	-1,536 + 00	-	-	-
4,6	$10^2 \div 10^3$	0,34	-6,246 + 00	9,433 + 00	-2,331 + 00	-	-	-
4,6	$10^2 \div 10^3$	0,36	-4,568 + 00	7,101 + 00	-1,790 + 00	-	-	-
4,6	$10^2 \div 10^3$	0,38	-2,672 + 00	4,832 + 00	-1,347 + 00	-	-	-

Продолжение табл. 2

L	E, нэВ	$\frac{B}{10^{-3} \text{ Тр}}$	A_1	A_2	A_3	A_4	A_5	A_6
4,8	$10^2 \div 10^3$	0,003	-3,551 + 00	1,126 + 01	-2,801 + 00	-	-	-
4,8	$10^2 \div 10^3$	0,005	-8,384 + 01	6,971 + 01	-1,348 + 01	-	-	-
4,8	$10^2 \div 10^3$	0,01	-1,222 + 01	1,839 + 01	-4,385 + 00	-	-	-
4,8	$10^2 \div 10^3$	0,02	-1,042 + 01	1,711 + 01	-4,199 + 00	-	-	-
4,8	$10^2 \div 10^3$	0,04	-1,124 + 01	1,771 + 01	-4,335 + 00	-	-	-
4,8	$10^2 \div 10^3$	0,06	-1,191 + 01	1,821 + 01	-4,453 + 00	-	-	-
4,8	$10^2 \div 10^3$	0,08	-7,268 + 00	1,428 + 01	-3,671 + 00	-	-	-
4,8	$10^2 \div 10^3$	0,10	-8,885 + 00	1,544 + 01	-3,879 + 00	-	-	-
4,8	$10^2 \div 10^3$	0,12	-9,521 + 00	1,586 + 01	-3,976 + 00	-	-	-
4,8	$10^2 \div 10^3$	0,14	-7,833 + 01	1,446 + 01	-3,698 + 00	-	-	-
4,8	$10^2 \div 10^3$	0,16	-9,884 + 00	1,631 + 01	-4,112 + 00	-	-	-
4,8	$10^2 \div 10^3$	0,18	-1,134 + 01	1,709 + 01	-4,210 + 00	-	-	-
4,8	$10^2 \div 10^3$	0,20	-9,461 + 00	1,560 + 01	-3,934 + 00	-	-	-
4,8	$10^2 \div 10^3$	0,22	-7,305 + 00	1,380 + 01	-3,586 + 00	-	-	-
4,8	$10^2 \div 10^3$	0,24	-3,538 + 00	1,058 + 01	-2,946 + 00	-	-	-
4,8	$10^2 \div 10^3$	0,26	-8,268 + 00	1,428 + 01	-3,671 + 00	-	-	-
4,8	$10^2 \div 10^3$	0,28	-6,491 + 00	1,242 + 01	-3,261 + 00	-	-	-
4,8	$10^2 \div 10^3$	0,30	-4,732 + 00	1,079 + 01	-2,962 + 00	-	-	-
4,8	$10^2 \div 10^3$	0,32	-2,009 + 00	7,993 + 00	-2,344 + 00	-	-	-
4,8	$10^2 \div 10^3$	0,34	-8,826 + 00	1,264 + 01	-3,187 + 00	-	-	-
4,8	$10^2 \div 10^3$	0,36	8,498 + 00	-2,792 + 00	9,925 - 03	-	-	-
4,8	$10^2 \div 4 \cdot 10^3$	0,38	1,903 + 00	-	-	-	-	-
4,8	$10^2 \div 4 \cdot 10^3$	0,40	1,000 + 00	-	-	-	-	-
5,0	$10^2 \div 10^3$	0,002	-8,161 + 00	1,525 + 01	-3,685 + 00	-	-	-
5,0	$10^2 \div 10^3$	0,005	-8,948 + 00	1,595 + 01	-3,923 + 00	-	-	-
5,0	$10^2 \div 10^3$	0,010	-1,464 + 01	2,074 + 01	-4,959 + 00	-	-	-
5,0	$10^2 \div 10^3$	0,020	-1,168 + 01	1,837 + 01	-4,529 + 00	-	-	-
5,0	$10^2 \div 10^3$	0,040	-1,484 + 01	2,096 + 01	-5,076 + 00	-	-	-
5,0	$10^2 \div 10^3$	0,060	-1,362 + 01	1,979 + 01	-4,868 + 00	-	-	-
5,0	$10^2 \div 10^3$	0,080	-1,168 + 01	1,830 + 01	-4,580 + 00	-	-	-
5,0	$10^2 \div 10^3$	0,10	-1,169 + 01	1,811 + 01	-4,541 + 00	-	-	-

Продолжение табл. 2

L	E, кэВ	$\beta_{10^{-11}} \text{Тл}$	A ₁	A ₂	A ₃	A ₄	A ₅	A ₆	A ₇
5,0	10 ² ÷ 10 ³	0,12	-1,276 + 01	1,897 + 01	-4,673 + 00	-	-	-	-
5,0	10 ² ÷ 10 ³	0,14	-1,136 + 01	1,777 + 01	-4,468 + 00	-	-	-	-
5,0	10 ² ÷ 10 ³	0,16	-1,309 + 01	1,908 + 01	-4,092 + 00	-	-	-	-
5,0	10 ² ÷ 10 ³	0,18	-1,060 + 01	1,584 + 01	-4,272 + 00	-	-	-	-
5,0	10 ² ÷ 10 ³	0,20	-1,290 + 01	1,886 + 01	-4,727 + 00	-	-	-	-
5,0	10 ² ÷ 10 ³	0,22	-9,962 + 00	1,552 + 01	-4,282 + 00	-	-	-	-
5,0	10 ² ÷ 10 ³	0,24	-1,135 + 01	1,753 + 01	-4,466 + 00	-	-	-	-
5,0	10 ² ÷ 10 ³	0,26	-1,060 + 01	1,577 + 01	-4,310 + 00	-	-	-	-
5,0	10 ² ÷ 10 ³	0,28	-1,002 + 01	1,511 + 01	-4,183 + 00	-	-	-	-
5,0	10 ² ÷ 10 ³	0,30	-9,909 + 00	1,606 + 01	-4,226 + 00	-	-	-	-
5,0	10 ² ÷ 10 ³	0,32	-8,133 + 00	1,416 + 01	-3,819 + 00	-	-	-	-
5,0	10 ² ÷ 10 ³	0,34	-8,201 + 00	1,361 + 01	-3,579 + 00	-	-	-	-
5,0	10 ² ÷ 10 ³	0,36	1,110 + 01	-3,898 + 00	-	-	-	-	-
5,2	10 ² ÷ 10 ³	0,002	-7,399 + 00	1,470 + 01	-3,598 + 00	-	-	-	-
5,2	10 ² ÷ 10 ³	0,005	-6,239 + 01	5,498 + 01	-1,106 + 01	-	-	-	-
5,2	10 ² ÷ 10 ³	0,01	-1,549 + 01	2,168 + 01	-5,216 + 00	-	-	-	-
5,2	10 ² ÷ 10 ³	0,02	-5,490 + 00	1,406 + 01	-3,700 + 00	-	-	-	-
5,2	10 ² ÷ 10 ³	0,04	-1,357 + 01	2,002 + 01	-4,945 + 00	-	-	-	-
5,2	10 ² ÷ 10 ³	0,06	-1,500 + 01	2,125 + 01	-5,224 + 00	-	-	-	-
5,2	10 ² ÷ 10 ³	0,08	-1,644 + 01	2,238 + 01	-5,461 + 00	-	-	-	-
5,2	10 ² ÷ 10 ³	0,10	-1,428 + 01	2,033 + 01	-5,023 + 00	-	-	-	-
5,2	10 ² ÷ 10 ³	0,12	-1,344 + 01	1,976 + 01	-4,945 + 00	-	-	-	-
5,2	10 ² ÷ 10 ³	0,14	-2,123 + 01	2,603 + 01	-6,209 + 00	-	-	-	-
5,2	10 ² ÷ 10 ³	0,16	-1,685 + 01	2,236 + 01	-5,469 + 00	-	-	-	-
5,2	10 ² ÷ 10 ³	0,18	-9,995 + 00	1,663 + 01	-4,318 + 00	-	-	-	-
5,2	10 ² ÷ 10 ³	0,20	-1,196 + 01	1,830 + 01	-4,674 + 00	-	-	-	-
5,2	10 ² ÷ 10 ³	0,22	-1,337 + 01	1,951 + 01	-4,938 + 00	-	-	-	-
5,2	10 ² ÷ 10 ³	0,24	-1,186 + 01	1,612 + 01	-4,652 + 00	-	-	-	-
5,2	10 ² ÷ 10 ³	0,26	-1,369 + 01	1,953 + 01	-4,941 + 00	-	-	-	-
5,2	10 ² ÷ 10 ³	0,28	-1,384 + 01	1,948 + 01	-4,955 + 00	-	-	-	-
5,2	10 ² ÷ 10 ³	0,30	1,264 + 01	-3,822 + 00	-	-	-	-	-

Продолжение табл. 2

L	E, эВВ	$\frac{E}{10^{-5} \text{Тл}}$	A ₁	A ₂	A ₃	A ₄	A ₅	A ₆	A ₇	A ₈
5,2	10 ² ÷ 10 ³	0,32	1,271+01	—4,115+00	—	—	—	—	—	—
5,2	10 ² ÷ 10 ³	0,34	1,297+01	—4,483+00	—	—	—	—	—	—
5,2	10 ² ÷ 10 ³	0,36	1,097+01	—3,983+00	—	—	—	—	—	—
5,4	10 ² ÷ 10 ³	0,002	—9,852+00	1,679+01	—4,065+00	—	—	—	—	—
5,4	10 ² ÷ 10 ³	0,005	—5,929+01	5,272+01	—1,068+01	—	—	—	—	—
5,4	10 ² ÷ 10 ³	0,01	—1,306+01	1,976+01	—4,888+00	—	—	—	—	—
5,4	10 ² ÷ 10 ³	0,02	—1,180+01	1,868+01	—4,694+00	—	—	—	—	—
5,4	10 ² ÷ 10 ³	0,04	—1,630+01	2,237+01	—5,463+00	—	—	—	—	—
5,4	10 ² ÷ 10 ³	0,06	—1,677+01	2,276+01	—5,571+00	—	—	—	—	—
5,4	10 ² ÷ 10 ³	0,08	—1,832+01	2,423+01	—5,919+00	—	—	—	—	—
5,4	10 ² ÷ 10 ³	0,10	—1,733+01	2,323+01	—5,708+00	—	—	—	—	—
5,4	10 ² ÷ 10 ³	0,12	—1,747+01	2,290+01	—5,582+00	—	—	—	—	—
5,4	10 ² ÷ 10 ³	0,14	—1,888+01	2,416+01	—5,858+00	—	—	—	—	—
5,4	10 ² ÷ 10 ³	0,16	—1,333+01	1,958+01	—4,958+00	—	—	—	—	—
5,4	10 ² ÷ 10 ³	0,18	—1,515+01	2,112+01	—5,283+00	—	—	—	—	—
5,4	10 ² ÷ 10 ³	0,20	—1,624+01	2,207+01	—5,590+00	—	—	—	—	—
5,4	10 ² ÷ 10 ³	0,22	—1,575+01	2,159+01	—5,415+00	—	—	—	—	—
5,4	10 ² ÷ 10 ³	0,24	—1,628+01	2,213+01	—5,570+00	—	—	—	—	—
5,4	10 ² ÷ 10 ³	0,26	—1,704+01	2,246+01	—5,693+00	—	—	—	—	—
5,4	10 ² ÷ 10 ³	0,28	—1,751+01	2,246+01	—5,603+00	—	—	—	—	—
5,4	10 ² ÷ 10 ³	0,30	1,267+01	—4,483+00	—	—	—	—	—	—
5,4	10 ² ÷ 10 ³	0,32	1,355+01	—4,622+00	—	—	—	—	—	—
5,4	10 ² ÷ 10 ³	0,34	1,146+01	—4,080+00	—	—	—	—	—	—
5,4	10 ² ÷ 10 ³	0,36	1,125+01	—4,322+00	—	—	—	—	—	—
5,6	10 ² ÷ 10 ³	0,002	—6,279+00	1,360+01	—3,409+00	—	—	—	—	—
5,6	10 ² ÷ 10 ³	0,005	—5,959+01	5,272+01	—1,068+01	—	—	—	—	—
5,6	10 ² ÷ 10 ³	0,01	—1,097+01	1,753+01	—4,463+00	—	—	—	—	—
5,6	10 ² ÷ 10 ³	0,02	—1,268+01	1,942+01	—4,867+00	—	—	—	—	—
5,6	10 ² ÷ 10 ³	0,04	—1,516+01	2,150+01	—5,363+00	—	—	—	—	—

Продолжение табл. 2

L	E, кэВ	$\frac{E_1}{E_2}$, Тл	A ₁	A ₂	A ₃	A ₄	A ₅	A ₆
5,6	10 ² ÷ 10 ³	0,06	-2,043 + 01	2,583 + 01	-6,232 + 00	—	—	—
5,6	10 ² ÷ 10 ³	0,08	-1,794 + 01	2,376 + 01	-5,821 + 00	—	—	—
5,6	10 ² ÷ 10 ³	0,10	-1,893 + 01	2,417 + 01	-5,851 + 00	—	—	—
5,6	10 ² ÷ 10 ³	0,12	-1,300 + 01	1,957 + 01	-4,963 + 00	—	—	—
5,6	10 ² ÷ 10 ³	0,14	-1,456 + 01	2,059 + 01	-5,207 + 00	—	—	—
5,6	10 ² ÷ 10 ³	0,16	-1,678 + 01	2,266 + 01	-5,598 + 00	—	—	—
5,6	10 ² ÷ 10 ³	0,18	-1,733 + 01	2,306 + 01	-5,719 + 00	—	—	—
5,6	10 ² ÷ 10 ³	0,20	-1,980 + 01	2,510 + 01	-6,167 + 00	—	—	—
5,6	10 ² ÷ 10 ³	0,22	-1,843 + 01	2,380 + 01	-5,894 + 00	—	—	—
5,6	10 ² ÷ 10 ³	0,24	-1,913 + 01	2,431 + 01	-6,004 + 00	—	—	—
5,6	10 ² ÷ 10 ³	0,26	-1,873 + 01	2,390 + 01	-5,894 + 00	—	—	—
5,6	10 ² ÷ 10 ³	0,28	-2,168 + 01	2,635 + 01	-6,503 + 00	—	—	—
5,6	10 ² ÷ 10 ³	0,30	1,340 + 01	-4,398 + 00	—	—	—	—
5,6	10 ² ÷ 10 ³	0,32	1,330 + 01	-4,726 + 00	—	—	—	—
5,6	10 ² ÷ 10 ³	0,34	1,038 + 01	-3,691 + 00	—	—	—	—
5,6	10 ² ÷ 10 ³	0,36	1,071 + 01	-4,115 + 00	—	—	—	—
5,8	10 ² ÷ 10 ³	0,001	-8,485 + 00	1,532 + 01	-3,864 + 00	—	—	—
5,8	10 ² ÷ 10 ³	0,005	-6,885 + 01	5,899 + 01	-1,172 + 01	—	—	—
5,8	10 ² ÷ 10 ³	0,01	-1,276 + 01	1,940 + 01	-4,836 + 00	—	—	—
5,8	10 ² ÷ 10 ³	0,02	-1,111 + 01	1,810 + 01	-4,621 + 00	—	—	—
5,8	10 ² ÷ 10 ³	0,04	-2,059 + 01	2,587 + 01	-6,212 + 00	—	—	—
5,8	10 ² ÷ 10 ³	0,06	-2,184 + 01	2,656 + 01	-6,322 + 00	—	—	—
5,8	10 ² ÷ 10 ³	0,08	-1,898 + 01	2,416 + 01	-5,858 + 00	—	—	—
5,8	10 ² ÷ 10 ³	0,10	-1,326 + 01	1,956 + 01	-4,968 + 00	—	—	—
5,8	10 ² ÷ 10 ³	0,12	-1,451 + 01	2,068 + 01	-5,214 + 00	—	—	—
5,8	10 ² ÷ 10 ³	0,14	-1,624 + 01	2,207 + 01	-5,500 + 00	—	—	—
5,8	10 ² ÷ 10 ³	0,16	-1,655 + 01	2,237 + 01	-5,584 + 00	—	—	—
5,8	10 ² ÷ 10 ³	0,18	-1,869 + 01	2,415 + 01	-5,977 + 00	—	—	—
5,8	10 ² ÷ 10 ³	0,20	-1,754 + 01	2,303 + 01	-5,731 + 00	—	—	—
5,8	10 ² ÷ 10 ³	0,22	-1,913 + 01	2,431 + 01	-6,004 + 00	—	—	—
5,8	10 ² ÷ 10 ³	0,24	-2,058 + 01	2,544 + 01	-6,251 + 00	—	—	—

Продолжение табл. 2

L	E, мэВ	$\frac{B}{10^{-3} T_0}$	A ₁	A ₂	A ₃	A ₄	A ₅	A ₆	A ₇
5,6	10 ² ÷ 10 ²	0,26	-1,761 + 01	2,246 + 01	-5,603 + 00	-	-	-	-
5,8	10 ² ÷ 10 ²	0,28	-1,764 + 01	2,296 + 01	-5,781 + 00	-	-	-	-
5,8	10 ² ÷ 4 · 10 ²	0,30	1,322 + 01	-4,372 + 00	-	-	-	-	-
5,6	10 ² ÷ 4 · 10 ²	0,32	1,301 + 01	-4,615 + 00	-	-	-	-	-
5,8	10 ² ÷ 4 · 10 ²	0,34	1,038 + 01	-3,691 + 00	-	-	-	-	-
5,8	10 ² ÷ 4 · 10 ²	0,36	1,071 + 01	-4,115 + 00	-	-	-	-	-
6,0	10 ² ÷ 10 ²	0,001	-6,315 + 00	1,385 + 01	-3,521 + 00	-	-	-	-
6,0	10 ² ÷ 10 ²	0,005	-4,726 + 01	4,405 + 01	-9,208 + 00	-	-	-	-
6,0	10 ² ÷ 10 ²	0,01	-1,350 + 01	2,003 + 01	-4,987 + 00	-	-	-	-
6,0	10 ² ÷ 10 ²	0,02	-1,117 + 01	1,812 + 01	-4,652 + 00	-	-	-	-
6,0	10 ² ÷ 10 ²	0,04	-1,357 + 01	2,010 + 01	-5,081 + 00	-	-	-	-
6,0	10 ² ÷ 10 ²	0,06	-2,081 + 01	2,585 + 01	-6,222 + 00	-	-	-	-
6,0	10 ² ÷ 10 ²	0,08	-1,451 + 01	2,068 + 01	-5,214 + 00	-	-	-	-
6,0	10 ² ÷ 10 ²	0,10	-1,737 + 01	2,302 + 01	-5,692 + 00	-	-	-	-
6,0	10 ² ÷ 10 ²	0,12	-1,655 + 01	2,237 + 01	-5,584 + 00	-	-	-	-
6,0	10 ² ÷ 10 ²	0,14	-1,869 + 01	2,415 + 01	-5,977 + 00	-	-	-	-
6,0	10 ² ÷ 10 ²	0,16	-1,843 + 01	2,380 + 01	-5,894 + 00	-	-	-	-
6,0	10 ² ÷ 10 ²	0,18	-1,913 + 01	2,431 + 01	-6,004 + 00	-	-	-	-
6,0	10 ² ÷ 10 ²	0,20	-1,873 + 01	2,380 + 01	-5,894 + 00	-	-	-	-
6,0	10 ² ÷ 10 ²	0,22	-1,333 + 01	1,941 + 01	-5,049 + 00	-	-	-	-
6,0	10 ² ÷ 10 ²	0,24	-1,778 + 01	2,282 + 01	-5,716 + 00	-	-	-	-
6,0	10 ² ÷ 4 · 10 ²	0,26	1,134 + 01	-3,322 + 00	-	-	-	-	-
6,0	10 ² ÷ 4 · 10 ²	0,28	1,271 + 01	-4,115 + 00	-	-	-	-	-
6,0	10 ² ÷ 4 · 10 ²	0,30	1,277 + 01	-4,407 + 00	-	-	-	-	-
6,0	10 ² ÷ 4 · 10 ²	0,32	1,195 + 01	-4,322 + 00	-	-	-	-	-
6,0	10 ² ÷ 4 · 10 ²	0,34	1,071 + 01	-3,934 + 00	-	-	-	-	-
6,2	10 ² ÷ 10 ²	0,001	-6,378 + 00	1,360 + 01	-3,457 + 00	-	-	-	-
6,2	10 ² ÷ 10 ²	0,005	-4,262 + 01	4,075 + 01	-8,649 + 00	-	-	-	-
6,2	10 ² ÷ 10 ²	0,01	-1,431 + 01	2,069 + 01	-5,149 + 00	-	-	-	-
6,2	10 ² ÷ 10 ²	0,02	-1,295 + 01	1,956 + 01	-4,958 + 00	-	-	-	-

Продолжение табл. 2

L	E, кэВ	β , 10^{-1} Тл	A ₁	A ₂	A ₃	A ₄	A ₅	A ₆
6,2	$10^2 \div 10^3$	0,04	-1,230 + 01	1,967 + 01	-4,759 + 00	—	—	—
6,2	$10^2 \div 10^3$	0,06	-1,678 + 01	2,256 + 01	-5,508 + 00	—	—	—
6,2	$10^2 \div 10^3$	0,08	-1,908 + 01	2,359 + 01	-5,816 + 00	—	—	—
6,2	$10^2 \div 10^3$	0,10	-2,082 + 01	2,583 + 01	-6,289 + 00	—	—	—
6,2	$10^2 \div 10^3$	0,12	-1,754 + 01	2,309 + 01	-5,731 + 00	—	—	—
6,2	$10^2 \div 10^3$	0,14	-1,892 + 01	2,333 + 01	-5,791 + 00	—	—	—
6,2	$10^2 \div 10^3$	0,16	-1,721 + 01	2,246 + 01	-5,603 + 00	—	—	—
6,2	$10^2 \div 10^3$	0,18	-1,333 + 01	1,941 + 01	-5,049 + 00	—	—	—
6,2	$10^2 \div 10^3$	0,20	-2,098 + 01	2,544 + 01	-6,251 + 00	—	—	—
6,2	$10^2 \div 4 \cdot 10^3$	0,22	1,238 + 01	-3,691 + 00	—	—	—	—
6,2	$10^2 \div 4 \cdot 10^3$	0,24	1,201 + 01	-3,615 + 00	—	—	—	—
6,2	$10^2 \div 4 \cdot 10^3$	0,26	1,095 + 01	-3,322 + 00	—	—	—	—
6,2	$10^2 \div 4 \cdot 10^3$	0,28	1,197 + 01	-3,983 + 00	—	—	—	—
6,2	$10^2 \div 4 \cdot 10^3$	0,30	1,186 + 01	-4,191 + 00	—	—	—	—
6,2	$10^2 \div 4 \cdot 10^3$	0,32	1,177 + 01	-4,407 + 00	—	—	—	—
6,2	$10^2 \div 4 \cdot 10^3$	0,34	1,071 + 01	-4,115 + 00	—	—	—	—
6,4	$10^2 \div 10^3$	0,001	-7,887 + 00	1,492 + 01	-3,754 + 00	—	—	—
6,4	$10^2 \div 10^3$	0,005	-4,062 + 01	3,927 + 01	-8,399 + 00	—	—	—
6,4	$10^2 \div 10^3$	0,01	-1,639 + 01	2,233 + 01	-5,490 + 00	—	—	—
6,4	$10^2 \div 10^3$	0,02	-9,288 + 00	1,608 + 01	-4,216 + 00	—	—	—
6,4	$10^2 \div 10^3$	0,04	-1,515 + 01	2,112 + 01	-5,283 + 00	—	—	—
6,4	$10^2 \div 10^3$	0,06	-1,895 + 01	2,422 + 01	-5,927 + 00	—	—	—
6,4	$10^2 \div 10^3$	0,08	-2,019 + 01	2,544 + 01	-6,251 + 00	—	—	—
6,4	$10^2 \div 8 \cdot 10^3$	0,10	-1,616 + 01	2,169 + 01	-5,435 + 00	—	—	—
6,4	$10^2 \div 8 \cdot 10^3$	0,12	-1,476 + 01	2,068 + 01	-5,279 + 00	—	—	—
6,4	$10^2 \div 8 \cdot 10^3$	0,14	-2,058 + 01	2,544 + 01	-6,251 + 00	—	—	—
6,4	$10^2 \div 8 \cdot 10^3$	0,16	-1,751 + 01	2,246 + 01	-5,603 + 00	—	—	—
6,4	$10^2 \div 8 \cdot 10^3$	0,18	-2,518 + 01	2,930 + 01	-7,106 + 00	—	—	—
6,4	$10^2 \div 4 \cdot 10^3$	0,20	1,223 + 01	-3,561 + 00	—	—	—	—
6,4	$10^2 \div 4 \cdot 10^3$	0,22	1,208 + 01	-3,691 + 00	—	—	—	—
6,4	$10^2 \div 4 \cdot 10^3$	0,24	1,271 + 01	-4,115 + 00	—	—	—	—

Продолжение табл. 2

L	E, кэВ	$\frac{B}{10^{-4}} \Gamma/\text{а}$	A ₁	A ₂	A ₃	A ₄	A ₅	A ₆	A ₇
6,4	10 ² ÷ 4 · 10 ³	0,26	1,064 + 01	—	—	—	—	—	—
6,4	10 ² ÷ 4 · 10 ³	0,28	1,230 + 01	—	—	—	—	—	—
6,4	10 ² ÷ 4 · 10 ³	0,30	1,203 + 01	—	—	—	—	—	—
6,4	10 ² ÷ 4 · 10 ³	0,32	1,177 + 01	—	—	—	—	—	—
6,4	10 ² ÷ 4 · 10 ³	0,34	1,071 + 01	—	—	—	—	—	—
6,6	10 ² ÷ 10 ³	0,001	—4,115 + 00	1,172 + 01	—3,107 + 00	—	—	—	—
6,6	10 ² ÷ 10 ³	0,005	—3,870 + 01	3,789 + 01	—8,165 + 00	—	—	—	—
6,6	10 ² ÷ 10 ³	0,01	—2,123 + 01	2,603 + 00	—6,209 + 00	—	—	—	—
6,6	10 ² ÷ 10 ³	0,02	—1,051 + 01	1,719 + 01	—4,465 + 00	—	—	—	—
6,6	10 ² ÷ 10 ³	0,04	—1,656 + 01	2,317 + 01	—5,493 + 00	—	—	—	—
6,6	10 ² ÷ 10 ³	0,06	—1,936 + 01	2,905 + 01	—6,138 + 00	—	—	—	—
6,6	10 ² ÷ 10 ³	0,08	—1,802 + 01	2,333 + 01	—5,791 + 00	—	—	—	—
6,6	10 ² ÷ 8 · 10 ³	0,10	—1,873 + 01	2,380 + 01	—5,894 + 00	—	—	—	—
6,6	10 ² ÷ 8 · 10 ³	0,12	—1,751 + 01	2,246 + 01	—5,603 + 00	—	—	—	—
6,6	10 ² ÷ 8 · 10 ³	0,14	—2,088 + 01	2,544 + 01	—6,251 + 00	—	—	—	—
6,6	10 ² ÷ 8 · 10 ³	0,16	—2,232 + 01	2,681 + 01	—6,588 + 00	—	—	—	—
6,6	10 ² ÷ 4 · 10 ³	0,18	1,201 + 01	—3,615 + 00	—	—	—	—	—
6,6	10 ² ÷ 4 · 10 ³	0,20	1,267 + 01	—3,983 + 00	—	—	—	—	—
6,6	10 ² ÷ 4 · 10 ³	0,22	1,271 + 01	—4,115 + 00	—	—	—	—	—
6,6	10 ² ÷ 4 · 10 ³	0,24	1,268 + 01	—4,191 + 00	—	—	—	—	—
6,6	10 ² ÷ 4 · 10 ³	0,26	1,235 + 01	—4,191 + 00	—	—	—	—	—
6,6	10 ² ÷ 4 · 10 ³	0,28	1,301 + 01	—4,615 + 00	—	—	—	—	—
6,6	10 ² ÷ 4 · 10 ³	0,30	1,146 + 01	—4,080 + 00	—	—	—	—	—
6,6	10 ² ÷ 4 · 10 ³	0,32	1,138 + 01	—4,191 + 00	—	—	—	—	—
6,6	10 ² ÷ 4 · 10 ³	0,34	1,167 + 01	—4,483 + 00	—	—	—	—	—

Примечания к табл. 1 и 2:

1. Подчеркнуты значения индукции геомагнитного поля B на экваторе L-облачка.
2. Две последние цифры со знаком «+» или «—» определяют порядок стоящего слева десятичного числа.

Таблица 3

Коэффициенты для расчета пространственного распределения плотности потока протонов в плоскости геомагнитного экватора в фазе максимума 11-летнего цикла

L , кэВ	Диапазон L , не более	C_1	C_2	C_3	C_4	C_5
$1 \cdot 10^2$	3,0	-2,803 + 01	5,301 + 01	-3,147 + 01	8,776 + 00	-9,415 - 01
$4 \cdot 10^2$	3,0	-3,184 + 01	6,126 + 01	-3,775 + 01	1,078 + 01	-1,175 + 00
$8 \cdot 10^2$	3,0	-3,398 + 01	4,727 + 01	-2,957 + 01	9,025 + 00	-1,070 + 00
$1 \cdot 10^3$	3,0	-3,885 + 01	7,448 + 01	-4,628 + 01	1,296 + 01	-1,363 + 00
$4 \cdot 10^3$	3,0	-3,731 + 01	7,026 + 01	-4,188 + 01	1,103 + 01	-1,101 + 00
$8 \cdot 10^3$	3,0	-5,003 + 01	9,679 + 01	-6,162 + 01	1,716 + 01	-1,793 + 00
$1 \cdot 10^4$	3,0	-5,899 + 01	1,177 + 02	-7,693 + 01	2,317 + 01	-2,544 + 00
$2 \cdot 10^4$	3,0	-3,963 + 01	8,061 + 01	-5,240 + 01	1,477 + 01	-1,562 + 00
$5 \cdot 10^4$	2,8	-6,050 + 01	1,276 + 02	-9,078 + 01	2,775 + 01	-3,152 + 00
$1 \cdot 10^5$	2,4	-3,085 + 01	5,720 + 01	-2,995 + 01	4,854 + 00	—
$2 \cdot 10^5$	2,2	-3,967 + 01	7,497 + 01	-4,159 + 01	7,224 + 00	—
$4 \cdot 10^5$	2,0	-4,286 + 01	2,126 + 01	-7,312 + 00	—	—

Коэффициенты для расчета пространственного распределения плотности потока протонов в плоскости геомагнитного экватора в фазе минимума 11-летнего цикла

E , кэВ	Диапазон L , не более	C_1	C_2	C_3	C_4	C_5
$1 \cdot 10^2$	6,6	-9,487+00	1,679+01	-5,595+00	7,879-01	-4,075-02
$4 \cdot 10^2$	6,6	-8,603+00	1,555+01	-5,068+00	6,813-01	-3,368-02
$8 \cdot 10^2$	6,6	-7,569+00	1,408+01	-4,315+00	5,034-01	-2,018-02
$1 \cdot 10^3$	6,6	-7,647+00	1,419+01	-4,352+00	4,971-01	-1,914-02
$4 \cdot 10^3$	4,2	-2,200+01	4,012+01	-2,047+01	4,527+00	-3,841-01
$8 \cdot 10^3$	3,6	-3,058+01	5,814+01	-3,359+01	8,384+00	-7,915-01
$1 \cdot 10^4$	3,6	-3,085+01	5,928+01	-3,495+01	8,906+00	-8,586-01
$2 \cdot 10^4$	3,2	-3,551+01	7,274+01	-4,759+01	1,346+01	-1,433+00
$5 \cdot 10^4$	2,5	-4,494+01	9,535+01	-6,642+01	1,982+01	-2,210+00
$1 \cdot 10^5$	2,4	-2,477+01	4,764+01	-2,499+01	4,010+00	—
$2 \cdot 10^5$	2,2	-3,597+01	6,874+01	-3,814+01	6,595+00	—
$4 \cdot 10^5$	2,0	-3,840+01	7,440+01	-4,281+01	7,667+00	—
$6 \cdot 10^5$	1,6	1,034+00	1,495+00	-5,750-01	—	—
$1 \cdot 10^6$	1,6	-2,219+00	5,720+00	-2,200+00	—	—

Примечание к табл. 3—4. Две последние цифры со знаком «+» или «-» определяют порядок стоящего слева десятичного числа.

МЕТОД РАСЧЕТА ГЕОМАГНИТНЫХ L , B -КООРДИНАТ

1. Значения индукции геомагнитного поля B , T_0 определяют по ГОСТ 25645.126—85.

2. Значения параметра дрейфовой оболочки L вычисляют из соотношения

$$\ln\left(\frac{L^2 B}{M} - 1\right) = \sum_{n=0}^{n=9} \alpha_n X^n,$$

где M — магнитный момент Земли, равный $7,91 \cdot 10^{22}$ Тл·м³;

α_n — коэффициенты, значения которых для различных интервалов X приведены в табл. 1;

X — параметр, значения которого вычисляют по формуле

$$X = \ln \frac{I^2 B}{M};$$

I — второй адиабатический инвариант движения, вычисляемый по формуле

$$I = \int_A^{A'} \sqrt{1 - \frac{B_1}{B}} dS;$$

A — точка пространства, для которой вычисляется значение I ;

A' — сопряженная точка отражения;

B — значение индукции геомагнитного поля в точке A ;

B_1 — значение индукции геомагнитного поля вдоль магнитной силовой линии;

dS — элемент длины магнитной силовой линии, связывающий точки A и A' .

3. Значения параметров L и B для ряда точек околоземного пространства с заданными значениями географических широты, долготы и высоты над поверхностью Земли для эпохи 1985 г. приведены в табл. 2.

Таблица 1

Коэффициент	Таблица 1					$X \geq 23$
	$X \leq -22$	$-22 < X \leq -3$	$-3 < X \leq 3$	$3 < X \leq 11,7$	$11,7 < X \leq 23$	
α_0	3,0062102—01	6,2337691—01	6,2286440—01	6,2223550—01	2,0007187—00	—3,0460581—00
α_1	3,3333800—01	4,3432542—01	4,3352788—01	4,3510529—01	—1,8461796—01	1
α_2	0	1,5017245—02	1,4492441—02	1,2817956—02	1,2038224—01	0
α_3	0	1,3714667—03	—1,1784234—03	2,1680398—03	—6,7310339—03	0
α_4	0	8,2711096—05	3,8379917—04	—3,2077032—04	2,170224—04	0
α_5	0	3,2916354—06	—3,3408822—06	7,9451313—05	—3,8049276—06	0
α_6	0	8,1048663—06	—6,3977642—07	—1,2531932—06	2,8212095—08	0
α_7	0	1,0095362—09	—2,1997983—08	9,9766148—07	0	0
α_8	0	8,3232531—13	2,3028767—09	—3,9583060—08	0	0
α_9	0	—8,1537735—14	2,6047023—10	6,3271665—10	0	0

Примечание. Две последние цифры со знаком «+» или «—» определяют порядок стоящего слева десятичного числа.

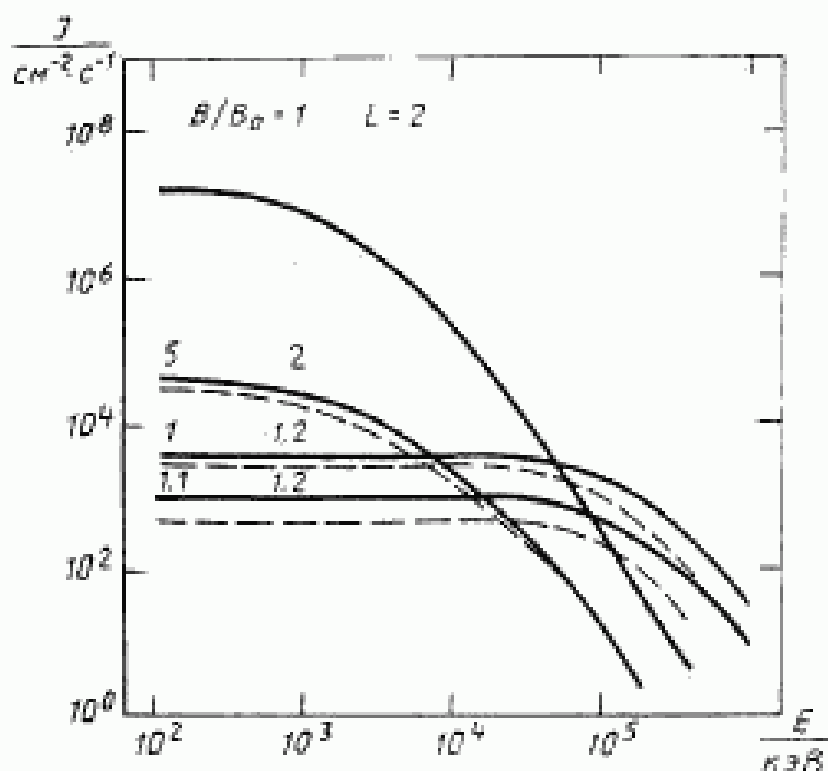
Таблица 2

Широта	Долгота	Высота, км	L	B_p 10^{-4} Тл
90°	0°	350	54,8954	0,4918
60	0	350	5,7993	0,4335
30	0	350	1,2385	0,3370
0	0	350	1,0954	0,2591
-30	0	350	1,6762	0,2400
-60	0	350	3,1802	0,2936
-90	0	350	14,2621	0,4833
90	60	350	54,8952	0,4918
60	60	350	3,1843	0,4773
30	60	350	1,2199	0,3850
0	60	350	1,0289	0,3033
-30	60	350	1,7605	0,3326
-60	60	350	5,7899	0,4015
-90	60	350	14,2622	0,4833
90	120	350	54,8952	0,4918
60	120	350	2,9141	0,5094
30	120	350	1,1589	0,3976
0	120	350	1,0027	0,3473
-30	120	350	1,8352	0,4870
-60	120	350	15,5899	0,5556
-90	120	350	14,2622	0,4833
90	180	350	54,8953	0,4918
60	180	350	3,1151	0,4527
30	180	350	1,2704	0,3198
0	180	350	1,0310	0,2939
-30	180	350	1,5311	0,4228
-60	180	350	5,7810	0,5365
-90	180	350	14,2622	0,4833
90	240	350	54,8956	0,4918
60	240	350	6,3679	0,5058
30	240	350	1,5952	0,3945
0	240	350	1,0629	0,2714
-30	240	350	1,2609	0,3164
-60	240	350	2,6867	0,4430
-90	240	350	14,2621	0,4833
90	300	350	8,1156	0,4869
30	300	350	1,8508	0,3932
0	300	350	1,1768	0,2522
-30	300	350	1,2295	0,2099
-60	300	350	2,1656	0,3167
-90	300	350	14,2621	0,4833
0	0	1000	1,2035	0,1894
30	0	1000	1,3959	0,2519
60	0	1000	4,2173	0,3354
0	0	2000	1,3679	0,1255
30	0	2000	1,6332	0,1702
60	0	2000	6,8700	0,2335
0	0	5000	1,8527	0,0492

Широта	Долгота	Высота, км	L	B , 10^{-4} Тл
30°	0°	5000	2,3289	0,0678
60	0	5000	6,8868	0,0954
0	0	10000	2,6512	0,0167
30	0	10000	3,4775	0,0231
60	0	10000	10,3395	0,0323
0	0	20000	4,2395	0,0041
30	0	20000	5,7382	0,0056
60	0	20000	17,3342	0,0078
0	0	30000	5,8250	0,0016
30	0	30000	7,9870	0,0022
60	0	30000	24,3617	0,0030
0	0	50000	8,9942	0,0004
30	0	50000	12,5054	0,0006
60	0	50000	38,4569	0,0008

**ДАнные для приближенных оценок энергетических
и пространственных распределений плотности
потока протонов**

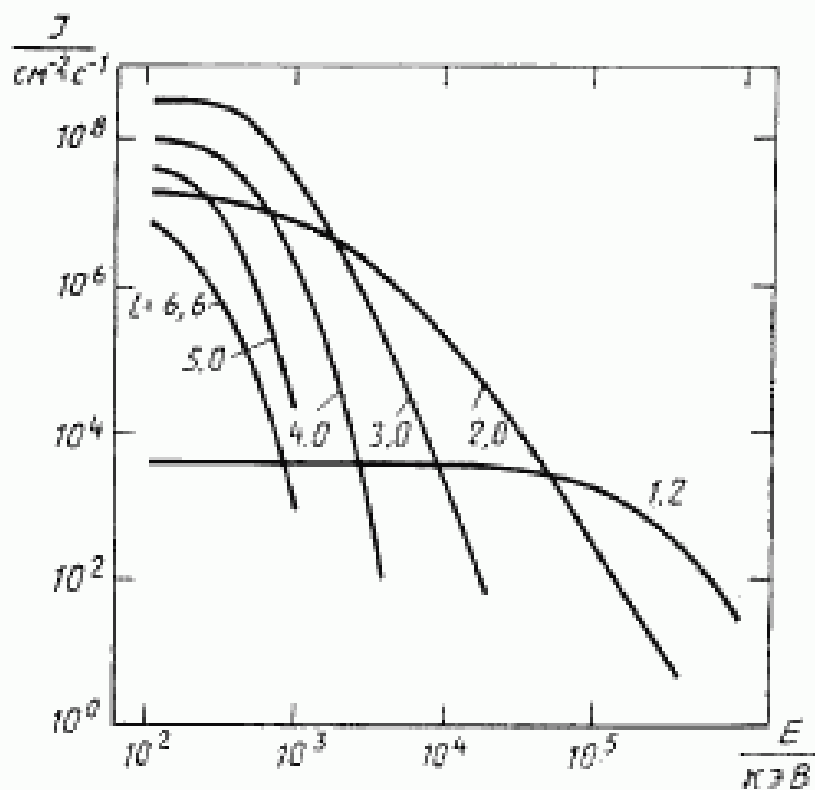
1. Энергетическое распределение плотности потока протонов на дрейфовых оболочках с параметром $L=2$ для $B/B_0=1; 5$ и параметром $L=1, 2$ для $B/B_0=1; 1,1$ в фазах минимума и максимума 11-летнего цикла приведено на черт. 1, где B_0 — индукция геомагнитного поля на экваторе дрейфовой оболочки.



————— — минимум 11-летнего цикла;
 - - - - - — максимум 11-летнего цикла

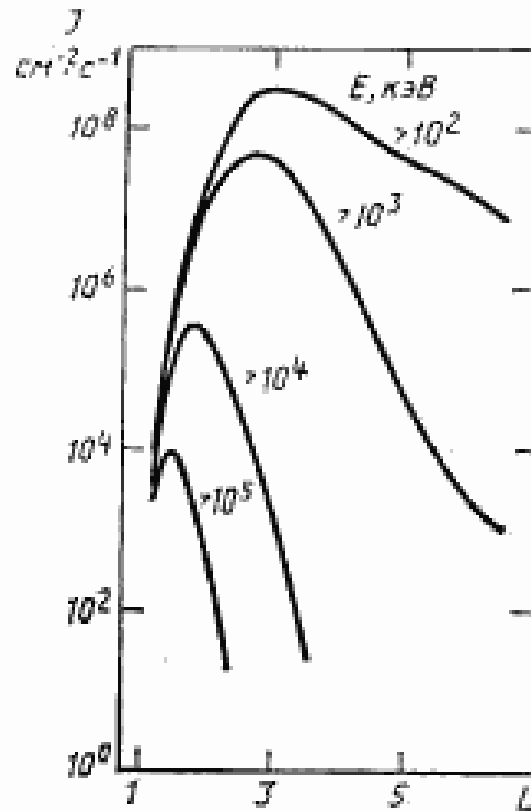
Черт. 1

2. Энергетическое распределение плотности потока протонов на дрейфовых оболочках с параметром $L=6,6; 5,0; 4,0; 3,0; 2,0; 1,2$ в плоскости геомагнитного экватора в фазе минимума 11-летнего цикла приведено на черт. 2.



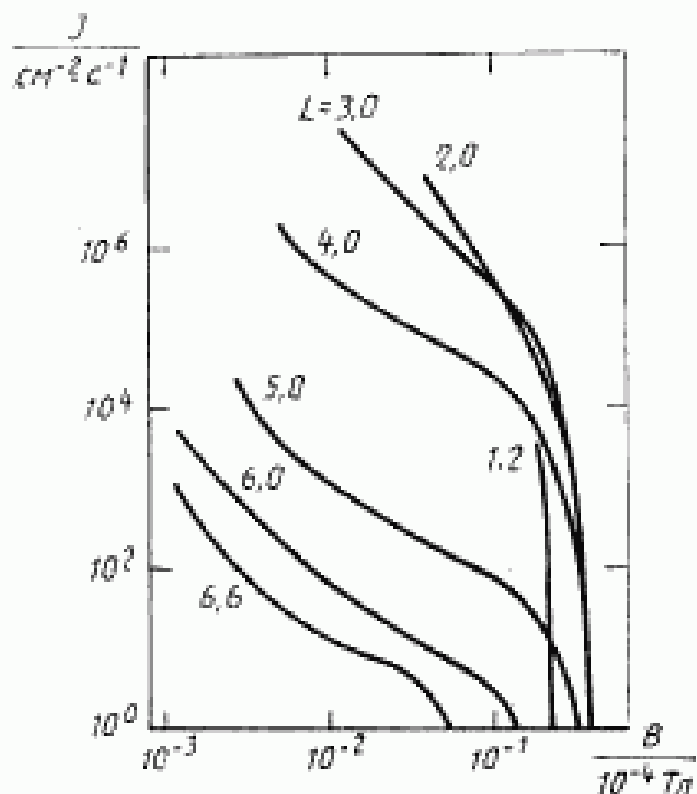
Черт. 2

3. Пространственное распределение плотности потока протонов с энергией $E \geq 10^2$; $\geq 10^3$; $\geq 10^4$; $\geq 10^5$ кэВ в плоскости геомагнитного экватора в фазе минимума 11-летнего цикла приведено на черт. 3.



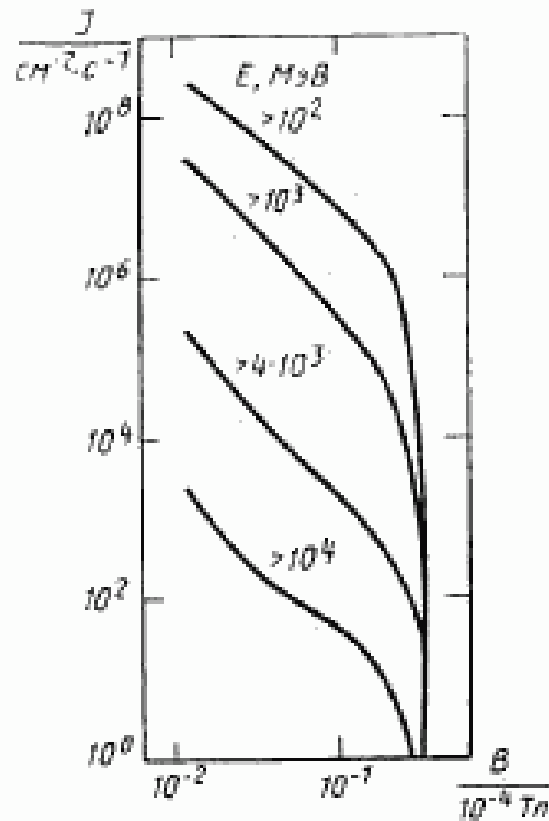
Черт. 3

4. Зависимость плотности потока протонов с энергией $E \geq 10^3$ кэВ от величины индукции геомагнитного поля B на дрейфовых оболочках с параметром $L=6,6; 6,0; 5,0; 4,0; 3,0; 2,0; 1,2$ в фазе минимума 11-летнего цикла приведена на черт. 4.



Черт. 4

5. Зависимость плотности потока протонов с энергией $E \geq 10^2$; $\geq 10^3$; $\geq 4 \cdot 10^3$; $\geq 10^4$ кэВ на дрейфовой оболочке с параметром $L=3$ в фазе минимума 11-летнего цикла приведена на черт. 5.



Черт. 5

Редактор *М. Е. Исхандарян*
Технический редактор *Э. В. Мигай*
Корректор *Л. В. Сницарчук*

Сдано в наб. 13.03.90 Подп. в печ. 25.05.90 2,25 усл. м. л. 2,375 усл. кр.-отт., 2,52 уч.-изд. л.
Тир. 3000 Цена 15 к.

Ордена «Знак Почета» Издательство стандартов, 123067, Москва, ГСП,
Новопресненский пер., д. 3.
Вильнюсская типография Издательства стандартов, ул. Даржус и Гирено, 39, Зак. 438.